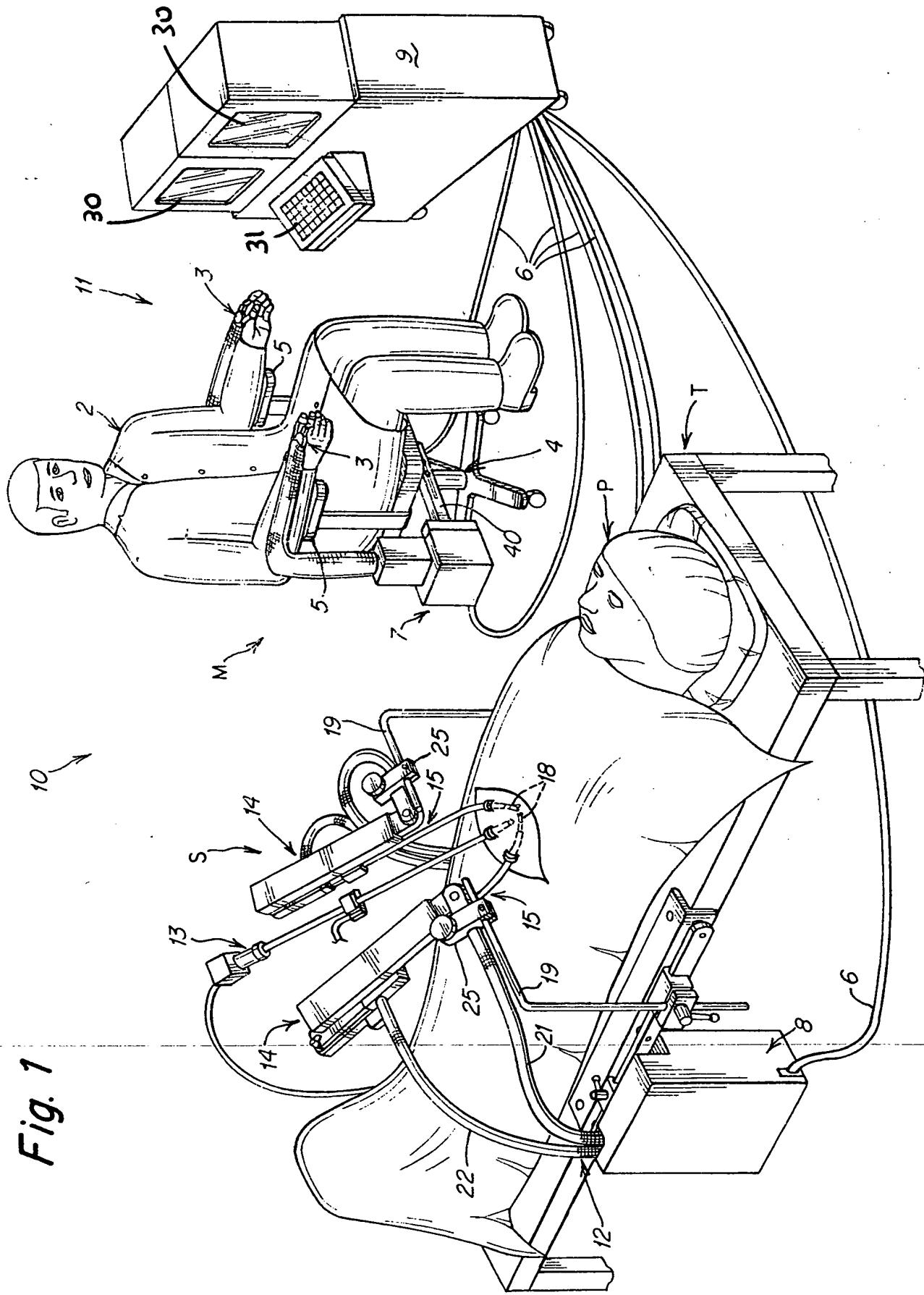


Fig. 1



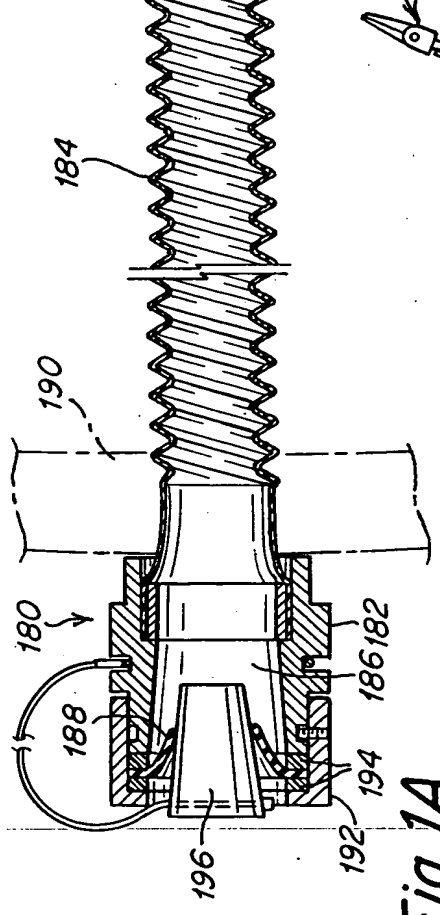


Fig. 1A

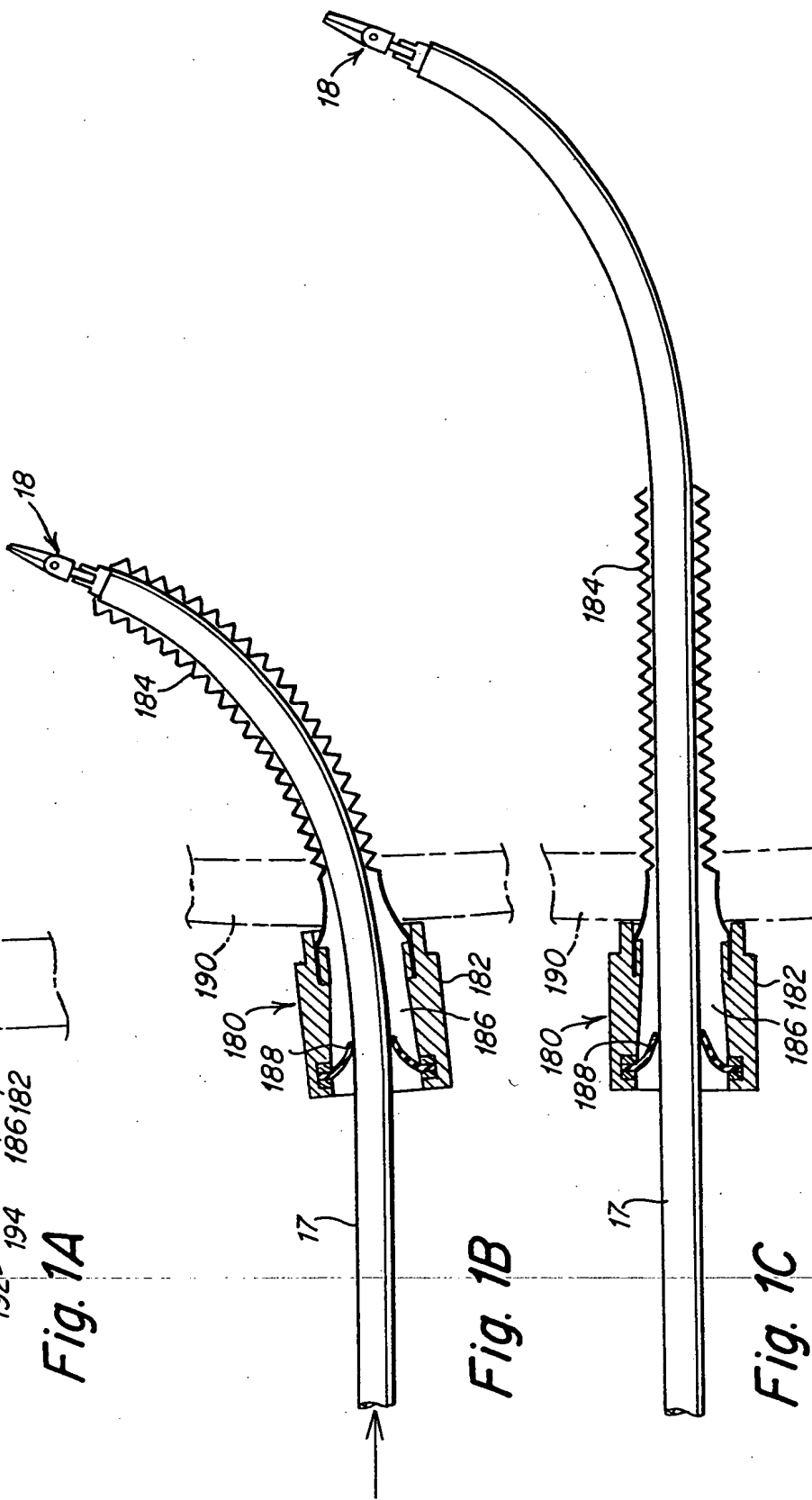


Fig. 1B

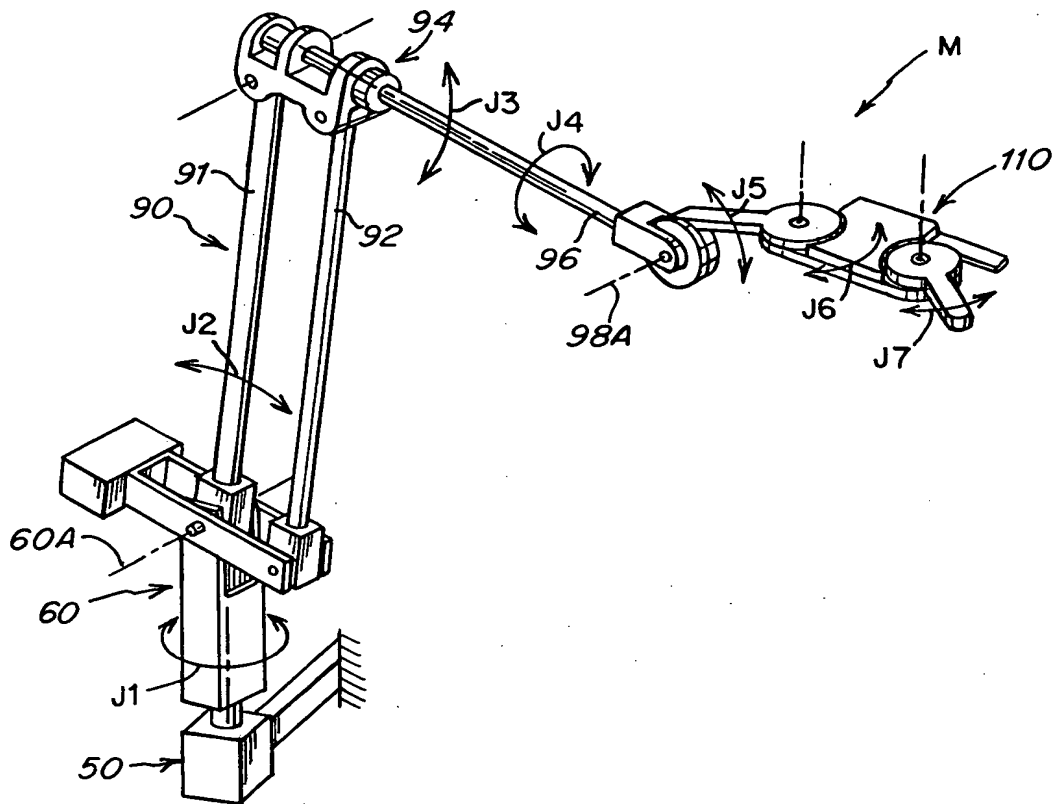


Fig. 2A

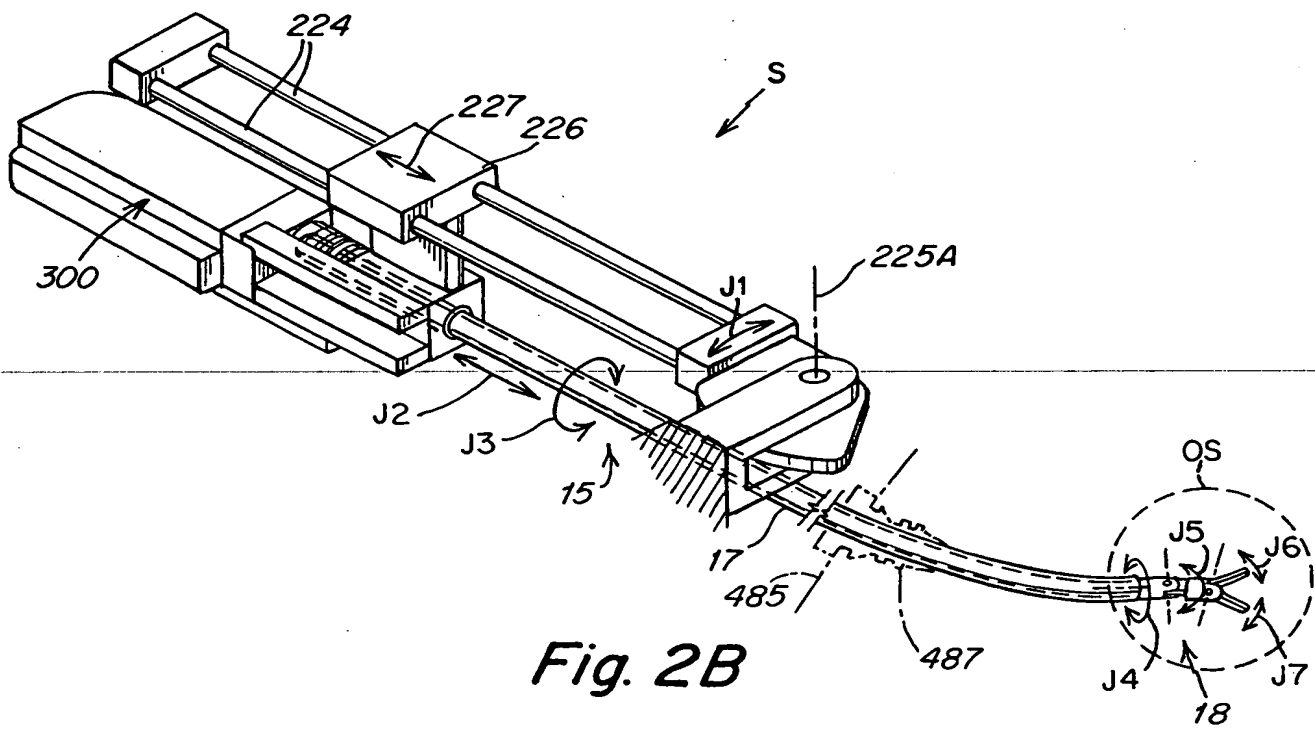


Fig. 2B

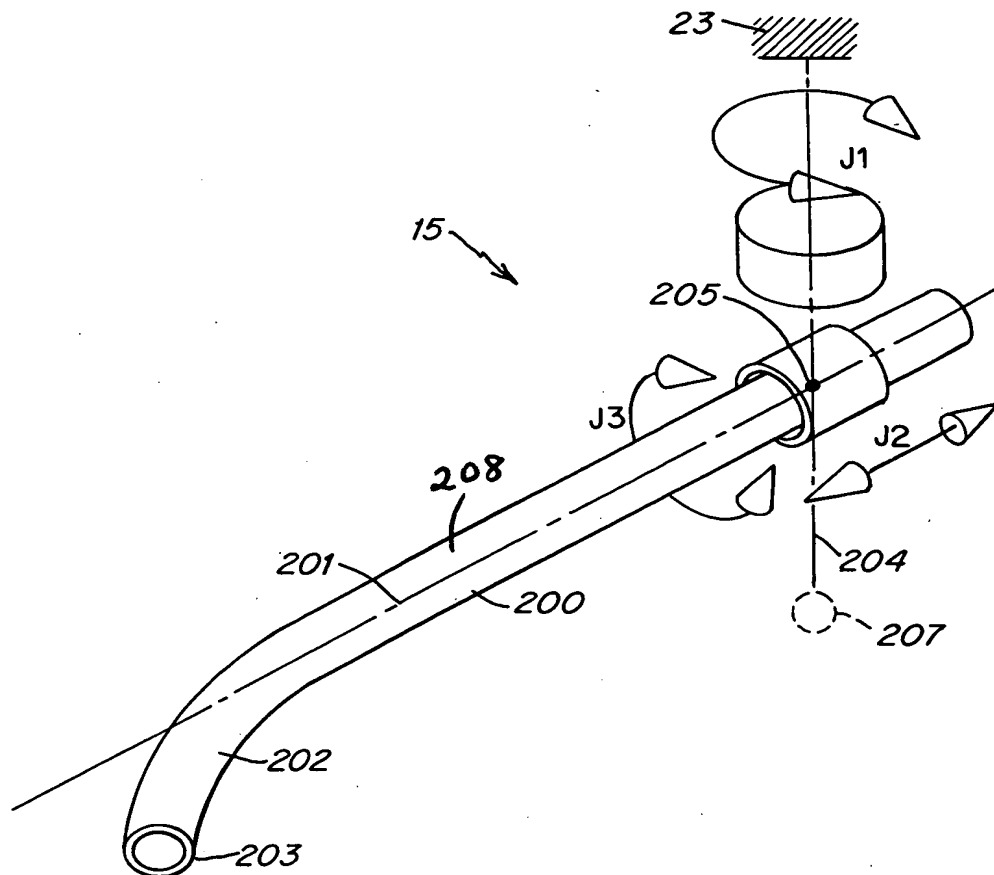


Fig. 2C

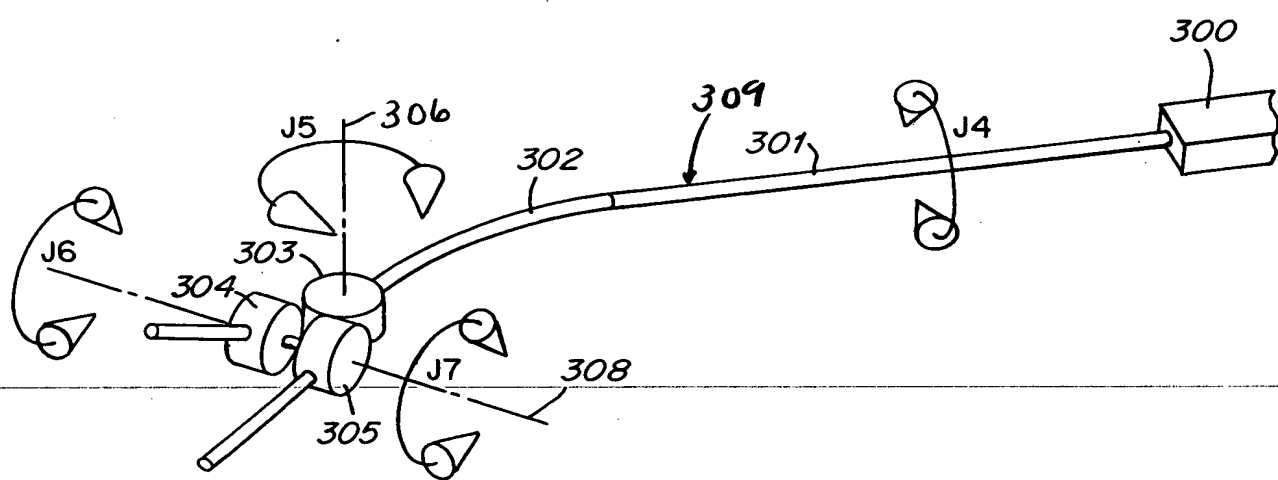


Fig. 2D

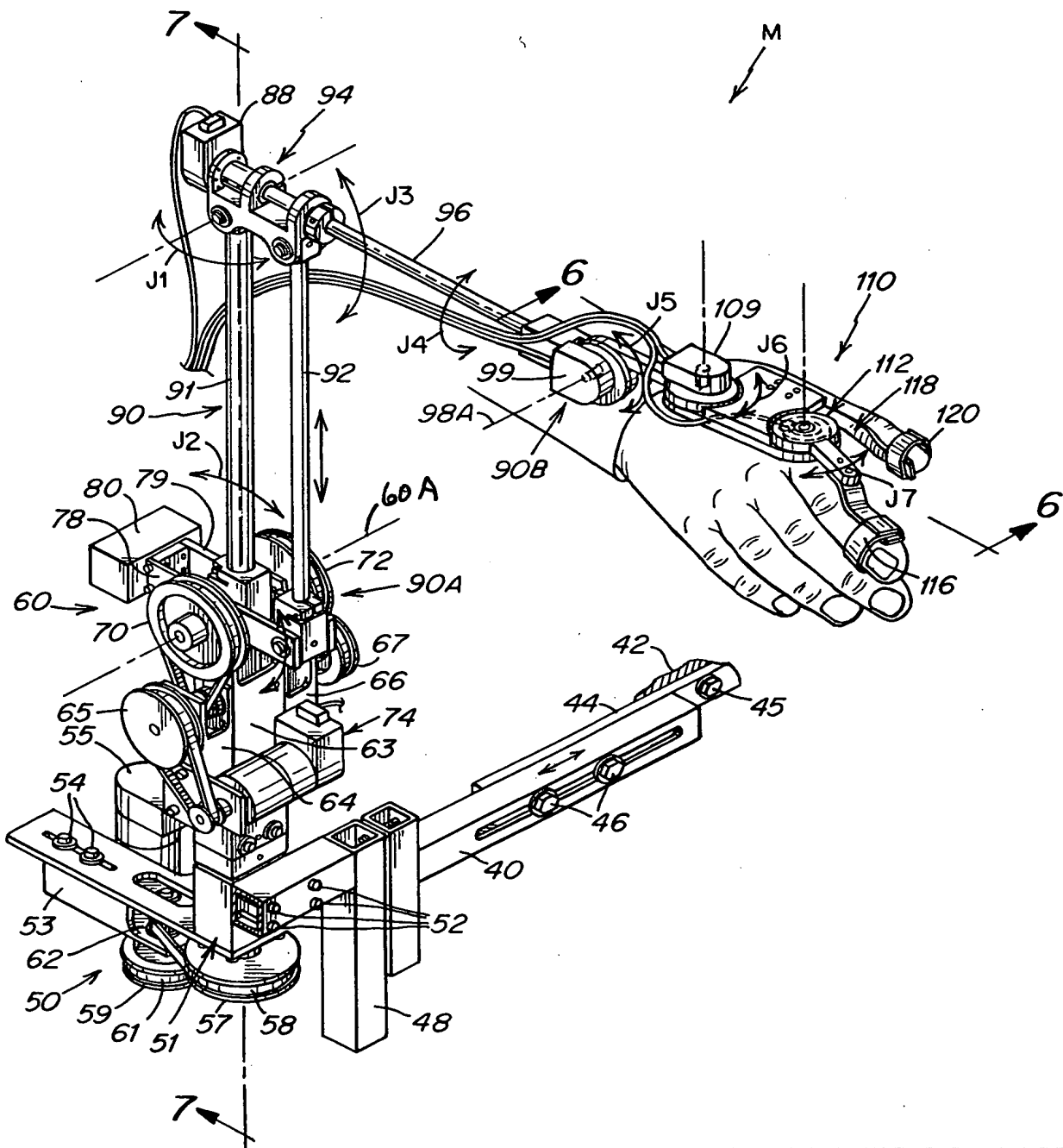


Fig. 3

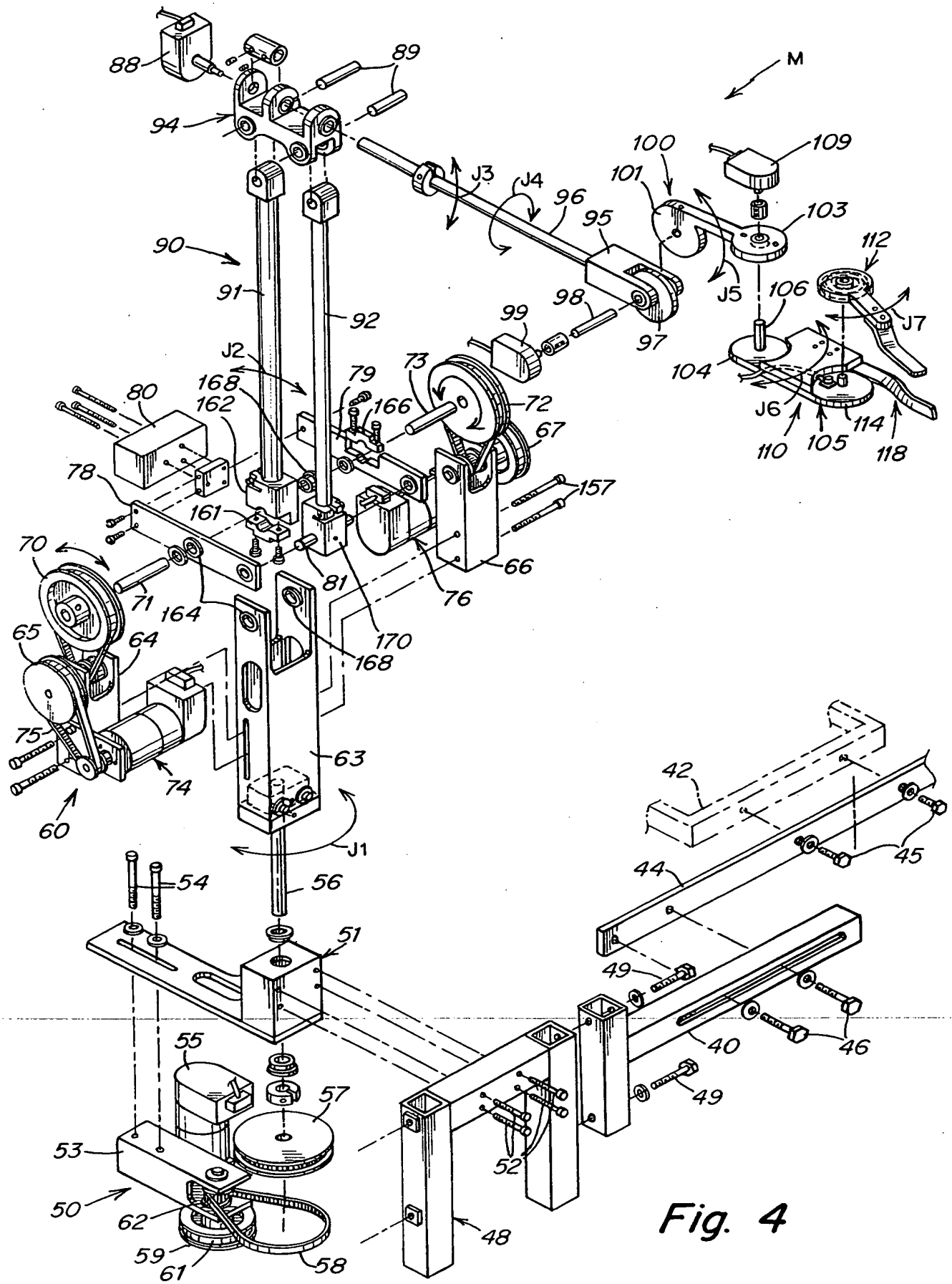


Fig. 4

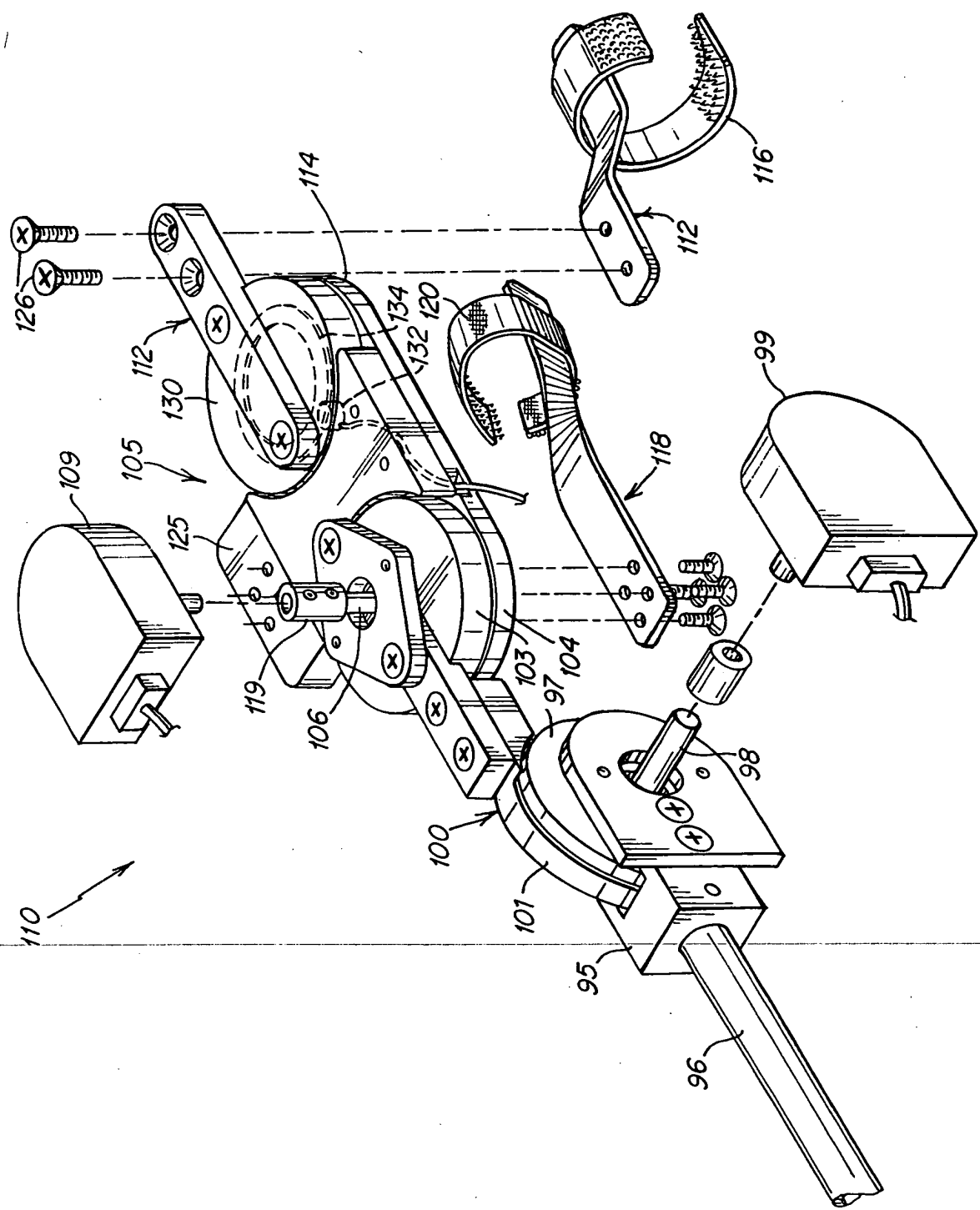
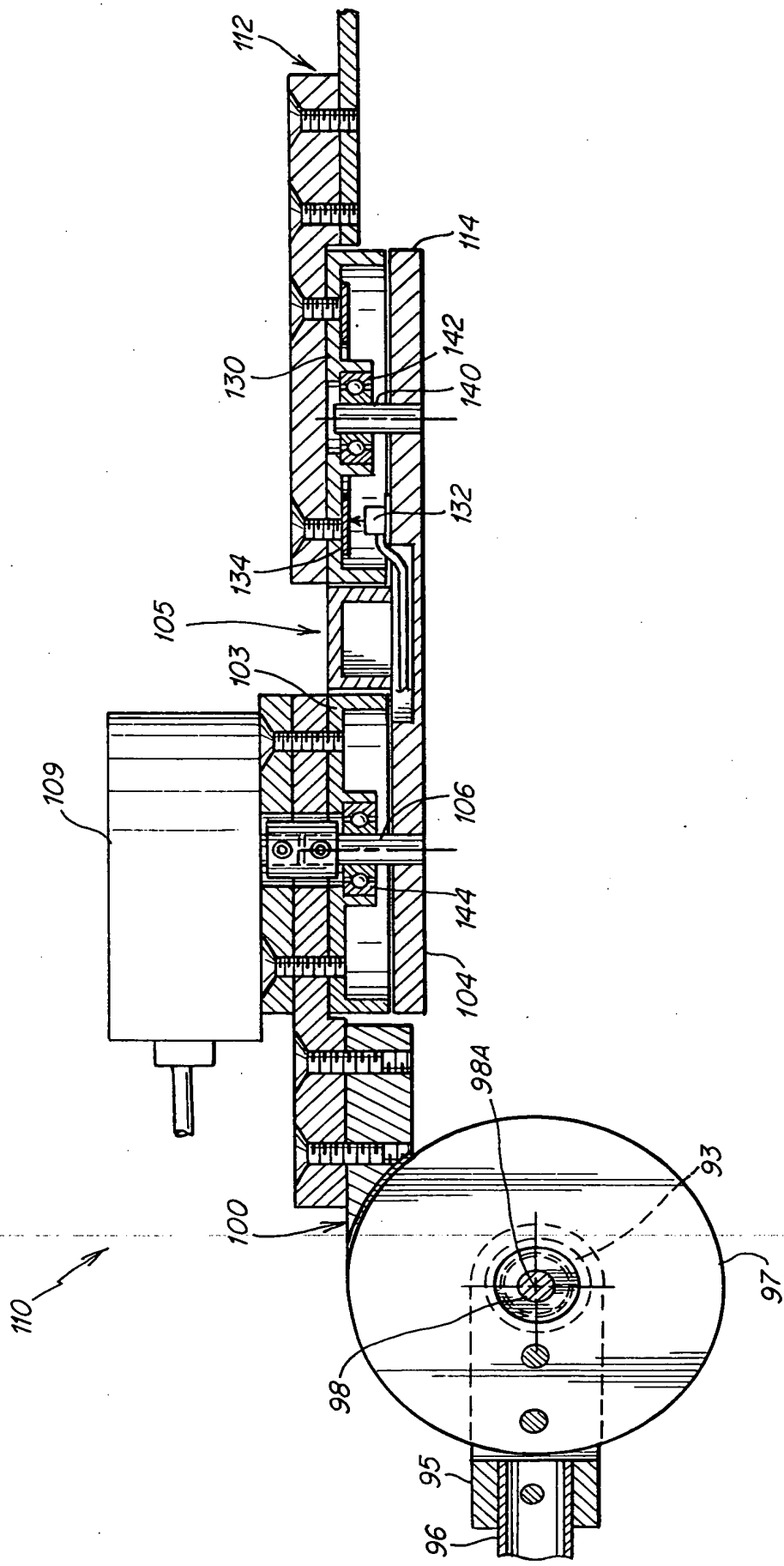


Fig. 5

Fig. 6



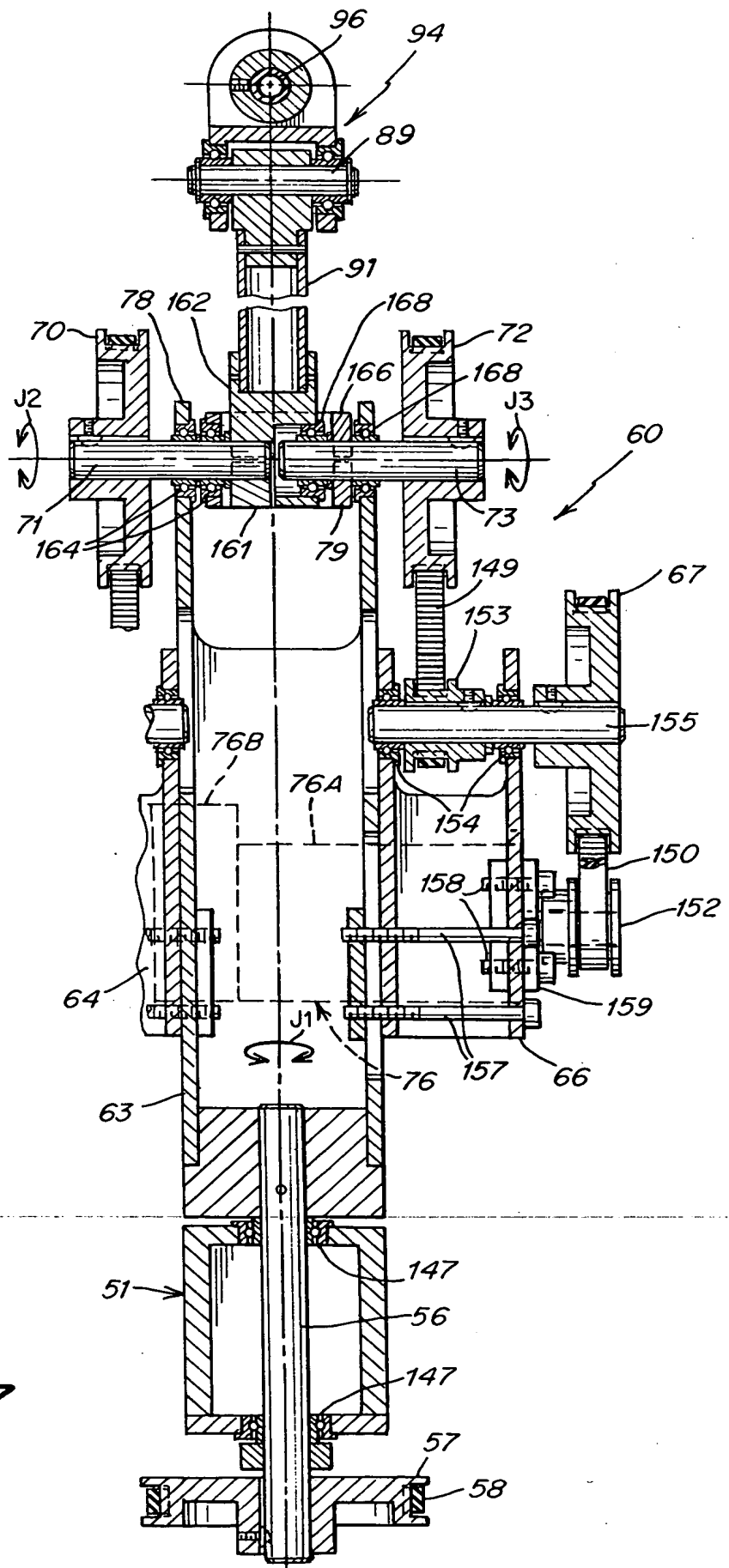


Fig. 7

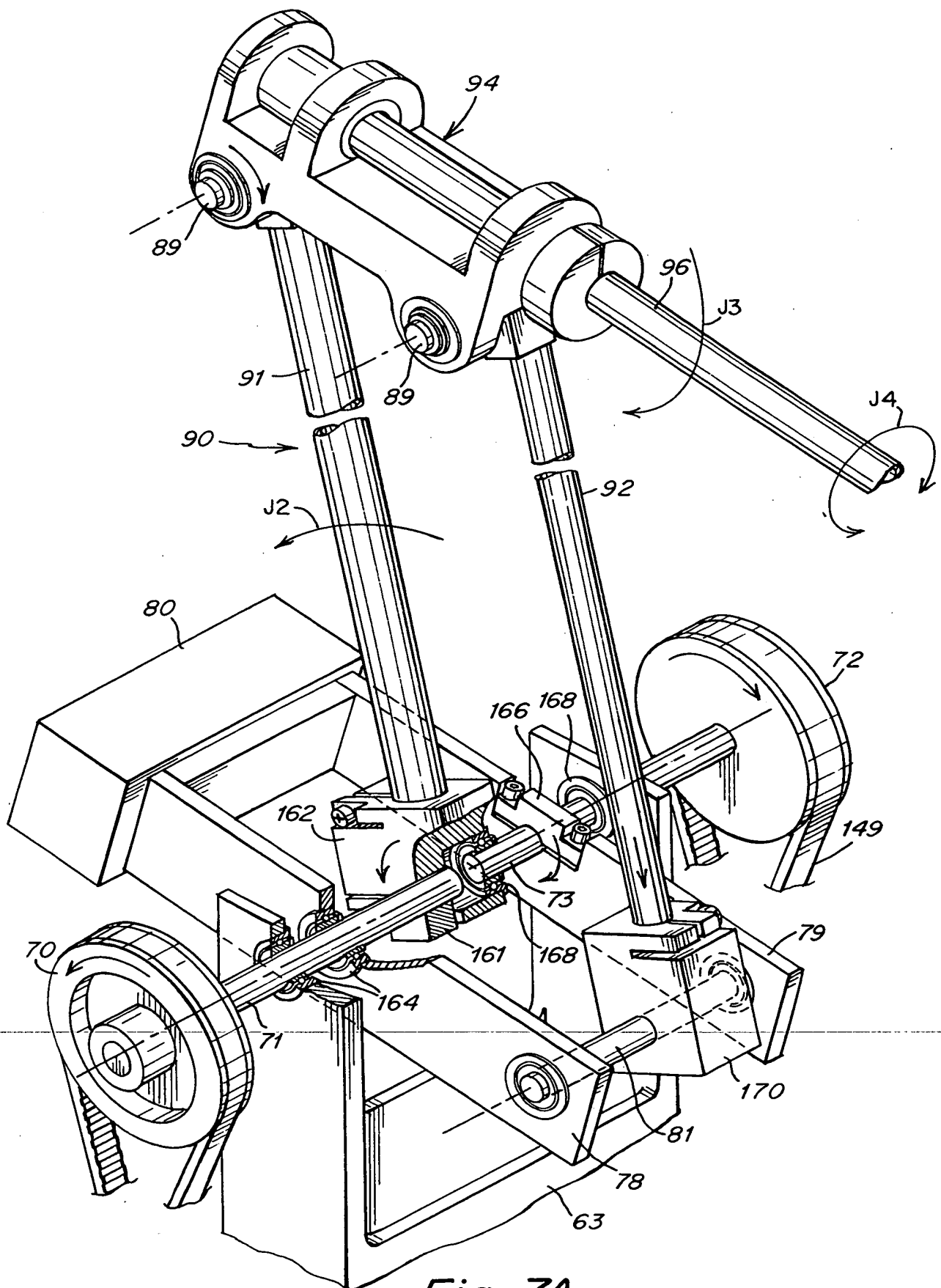


Fig. 7A

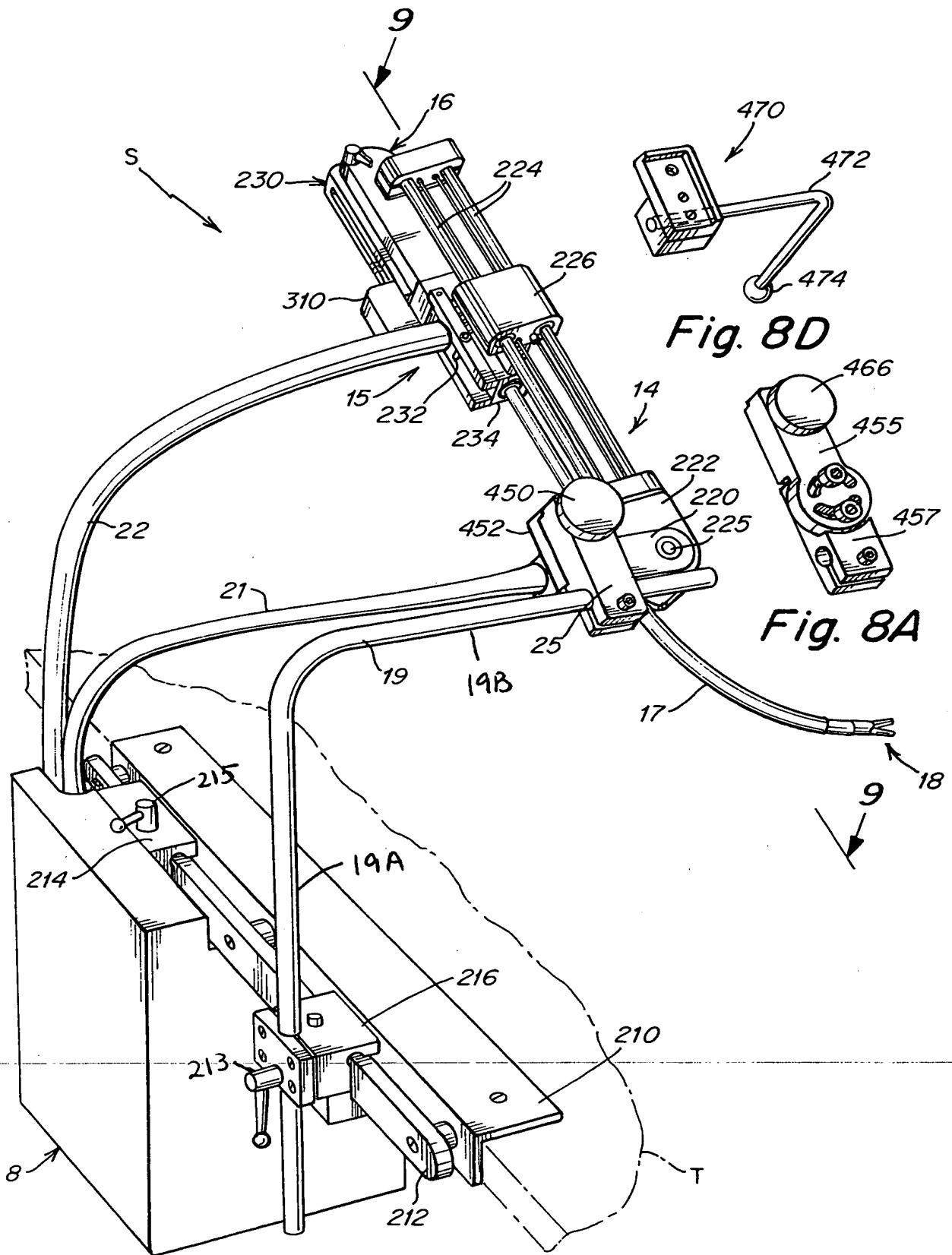


Fig. 8

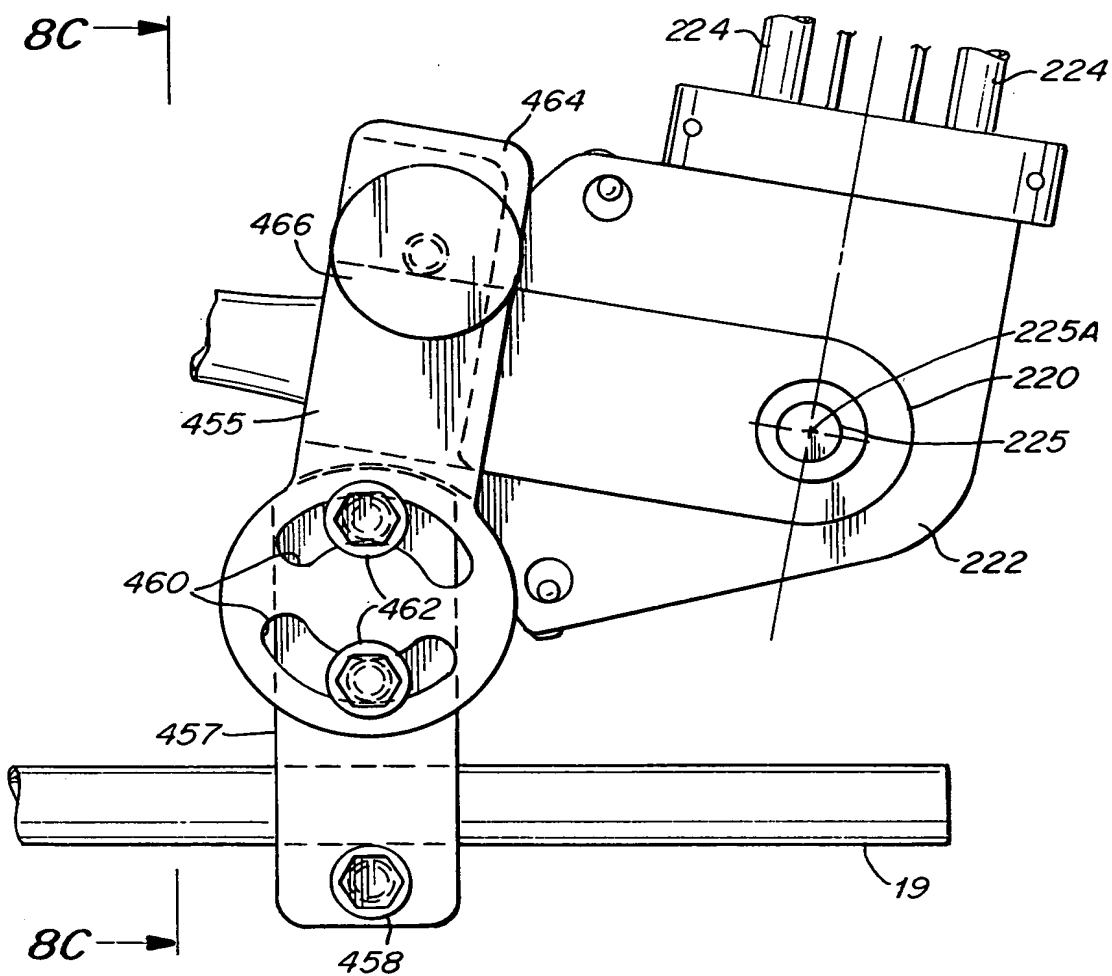


Fig. 8B

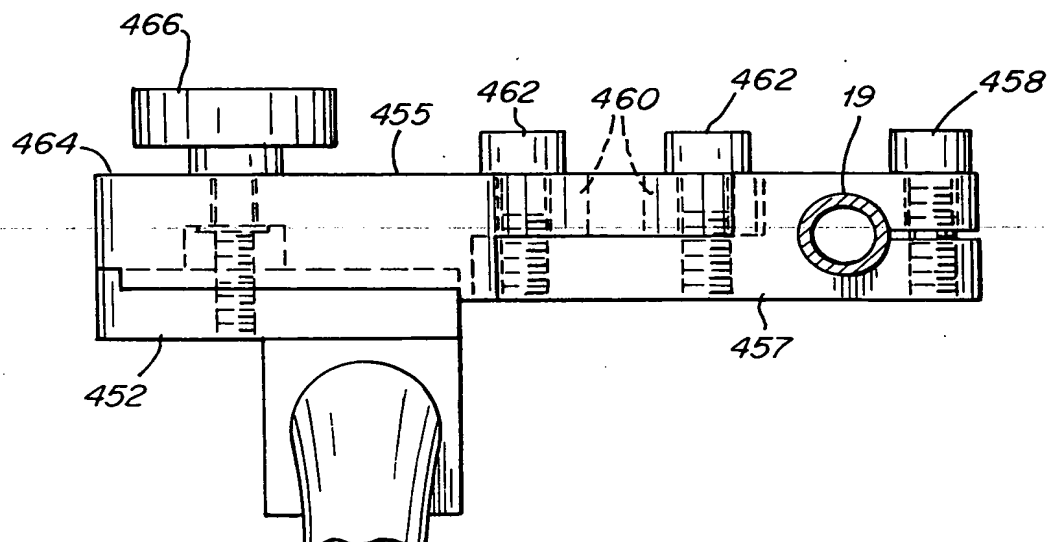
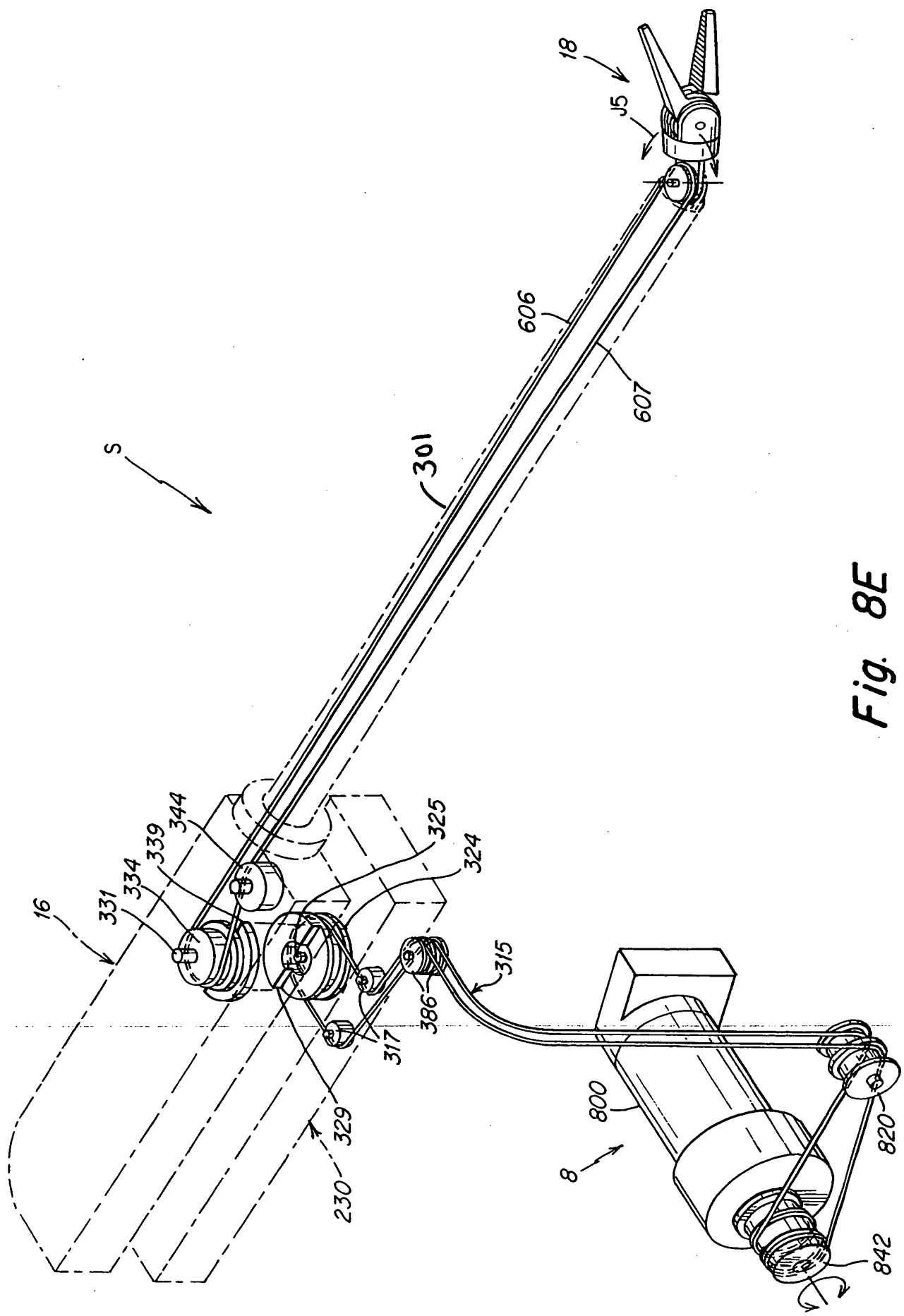


Fig. 8C

Fig. 8E



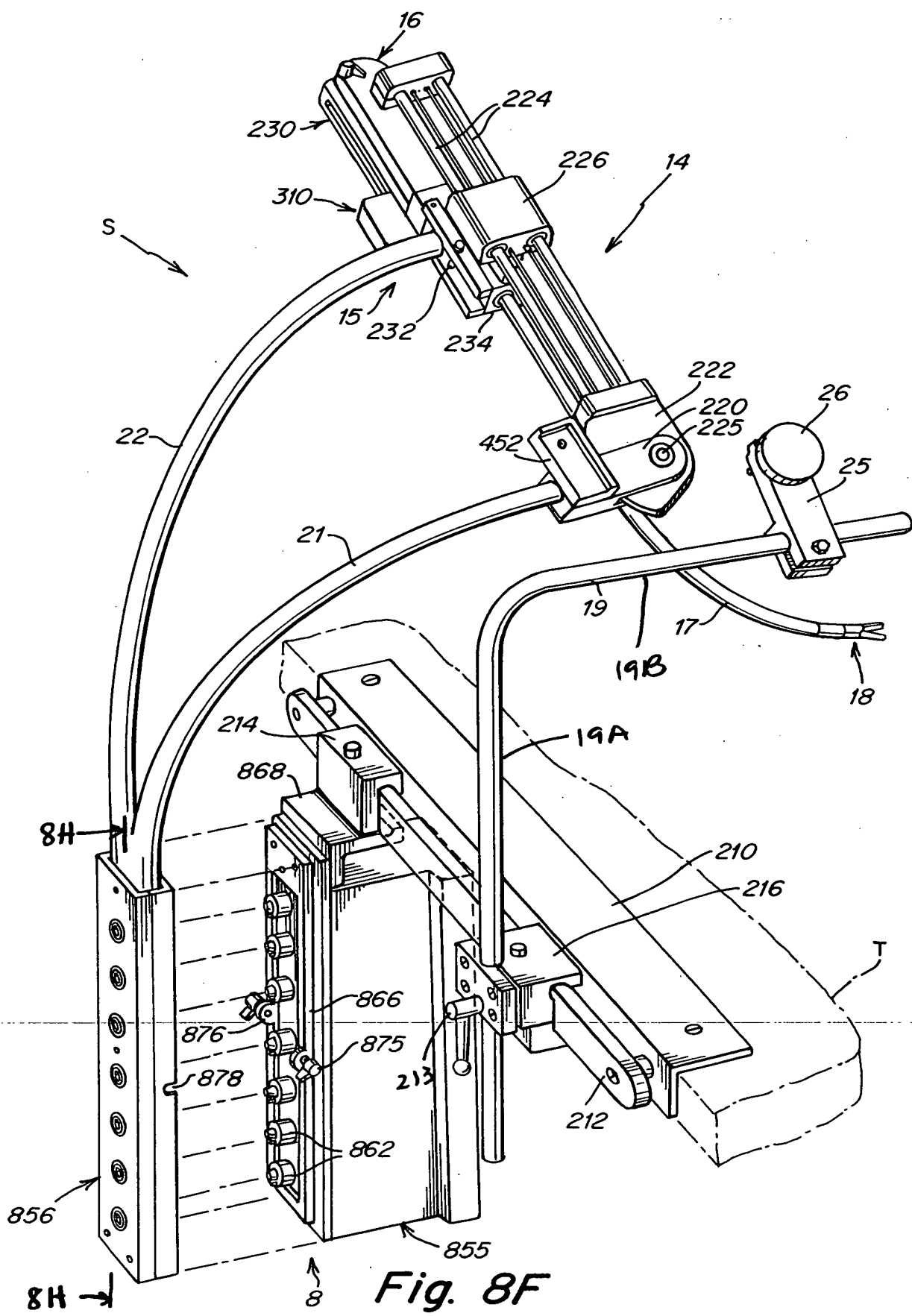
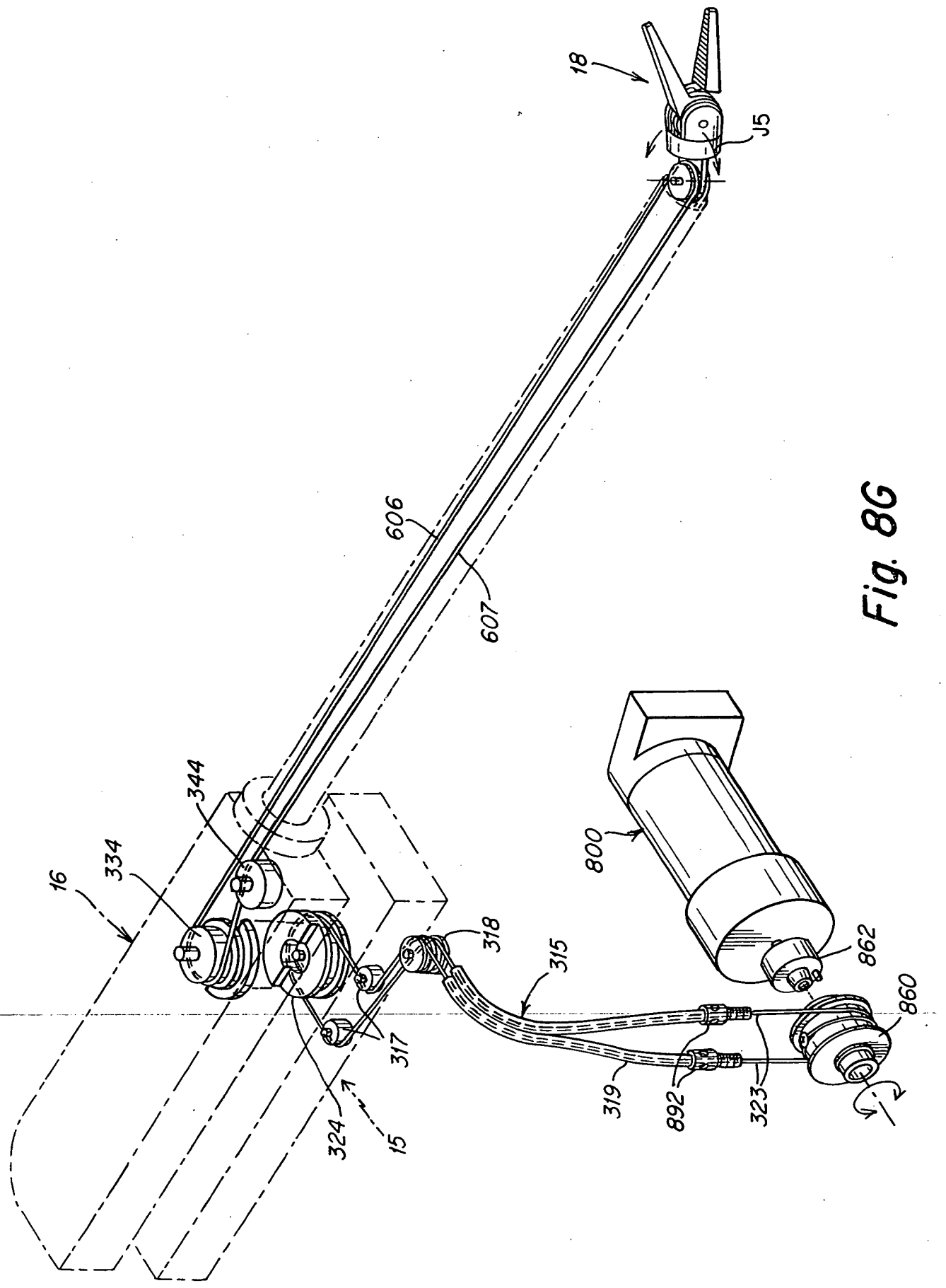


Fig. 8F

Fig. 86



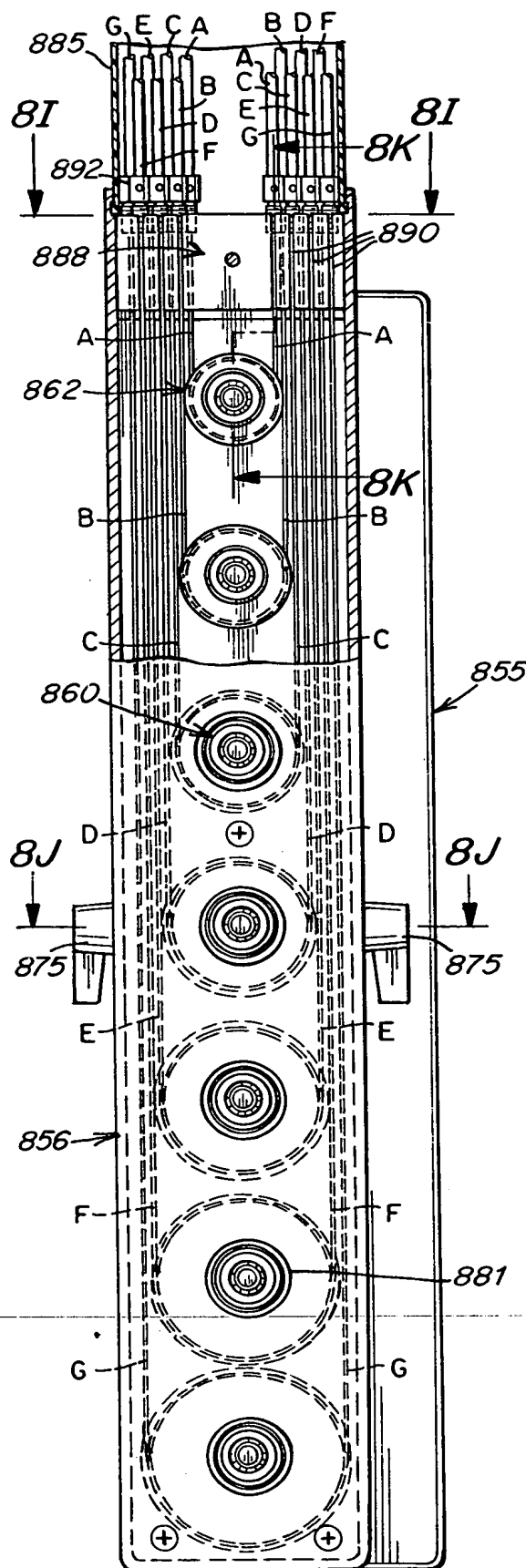


Fig. 8H

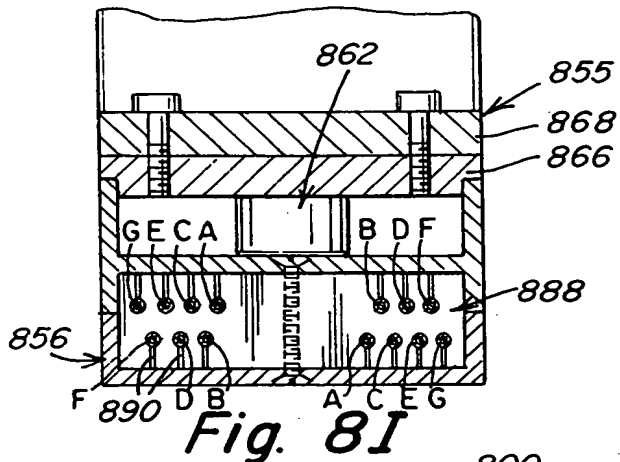


Fig. 81

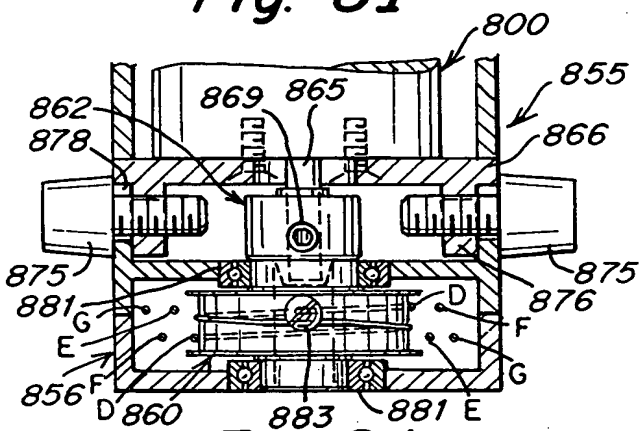


Fig. 8J

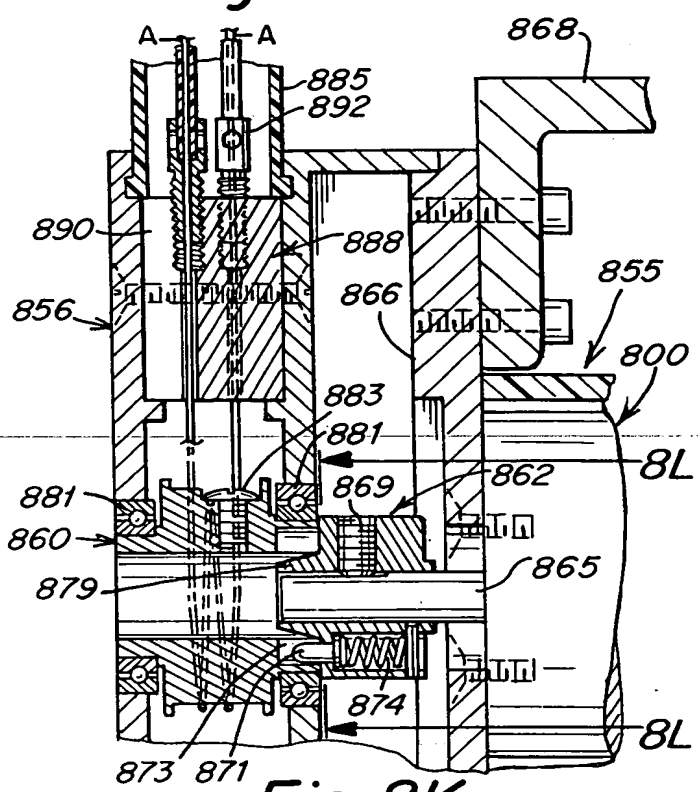


Fig. 8K

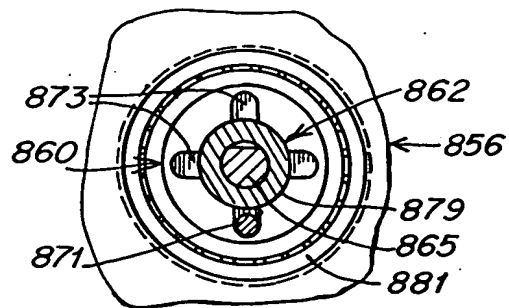


Fig. 8L

JOURNAL OF POLYMER SCIENCE: PART A-1

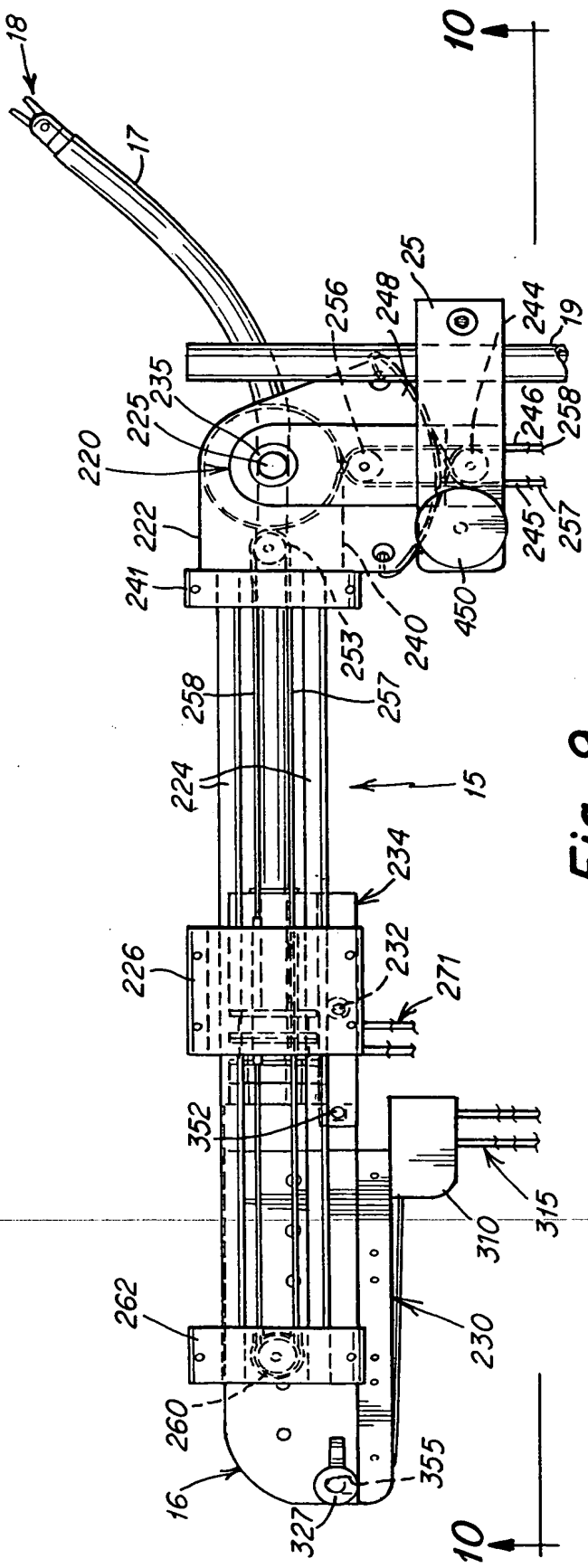


Fig. 9

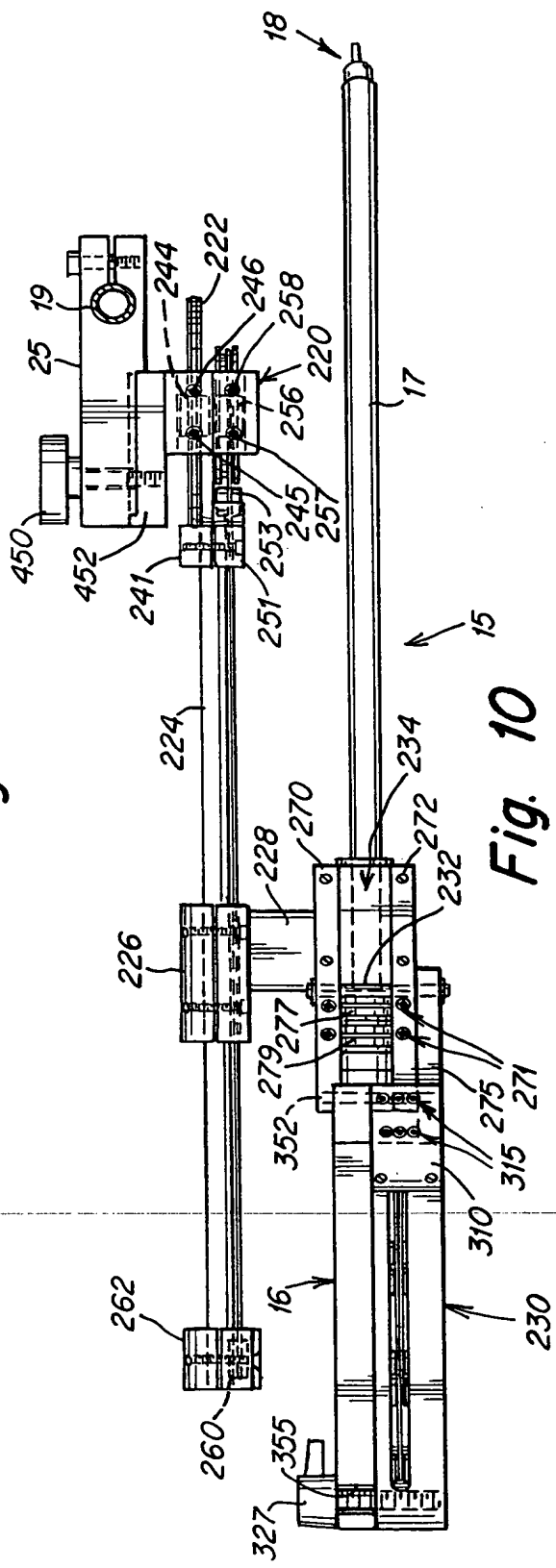


Fig. 10

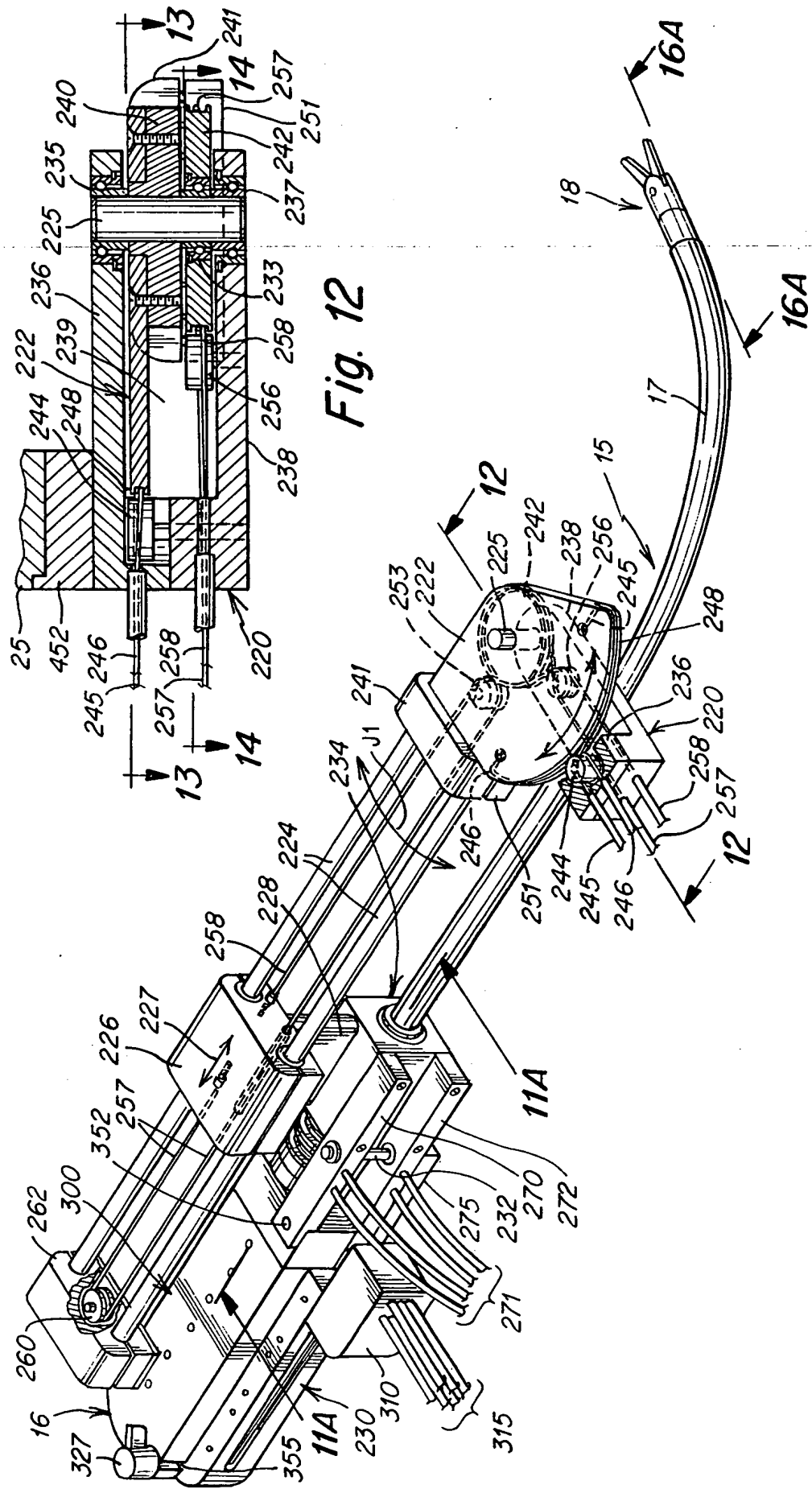


Fig. 12

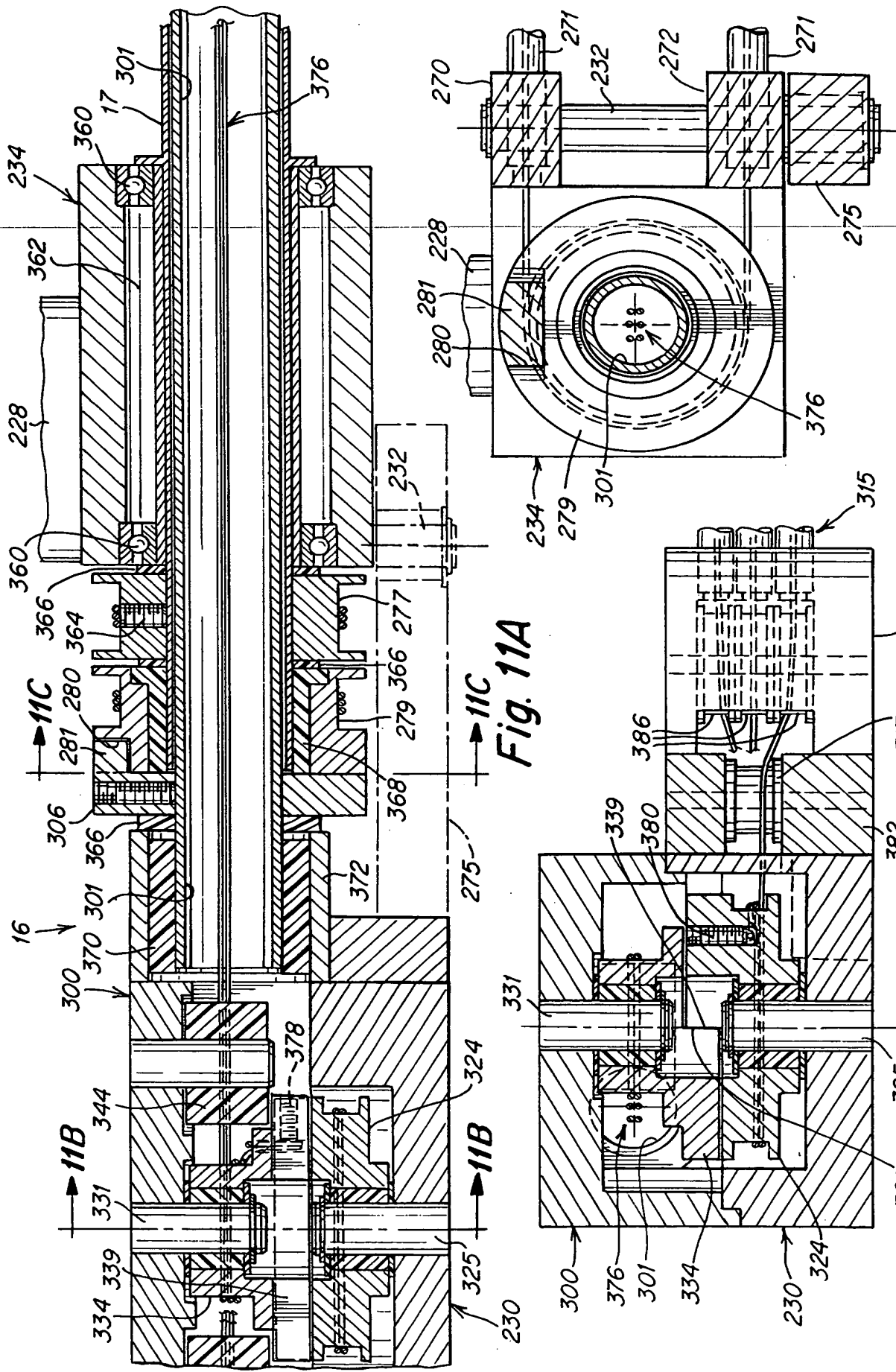


Fig. 11C

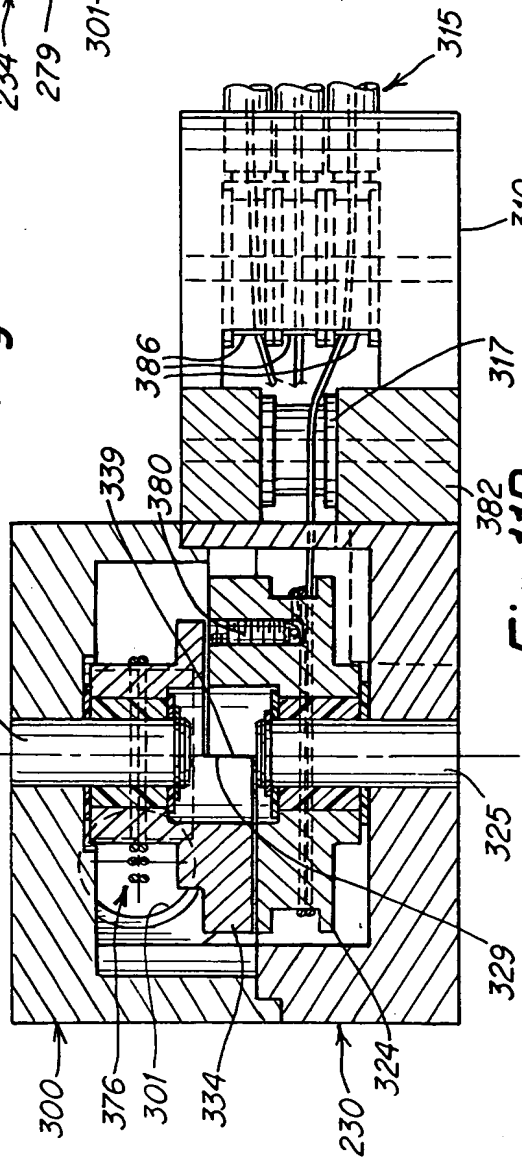


Fig. 11B 317 302 310

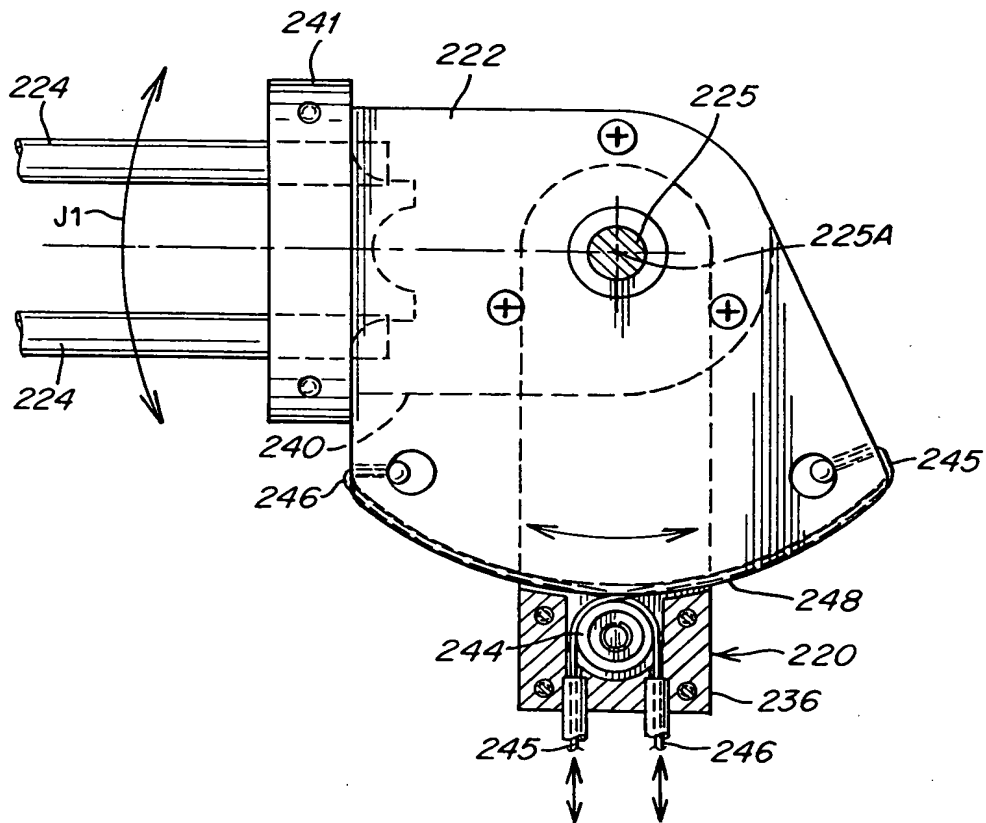


Fig. 13

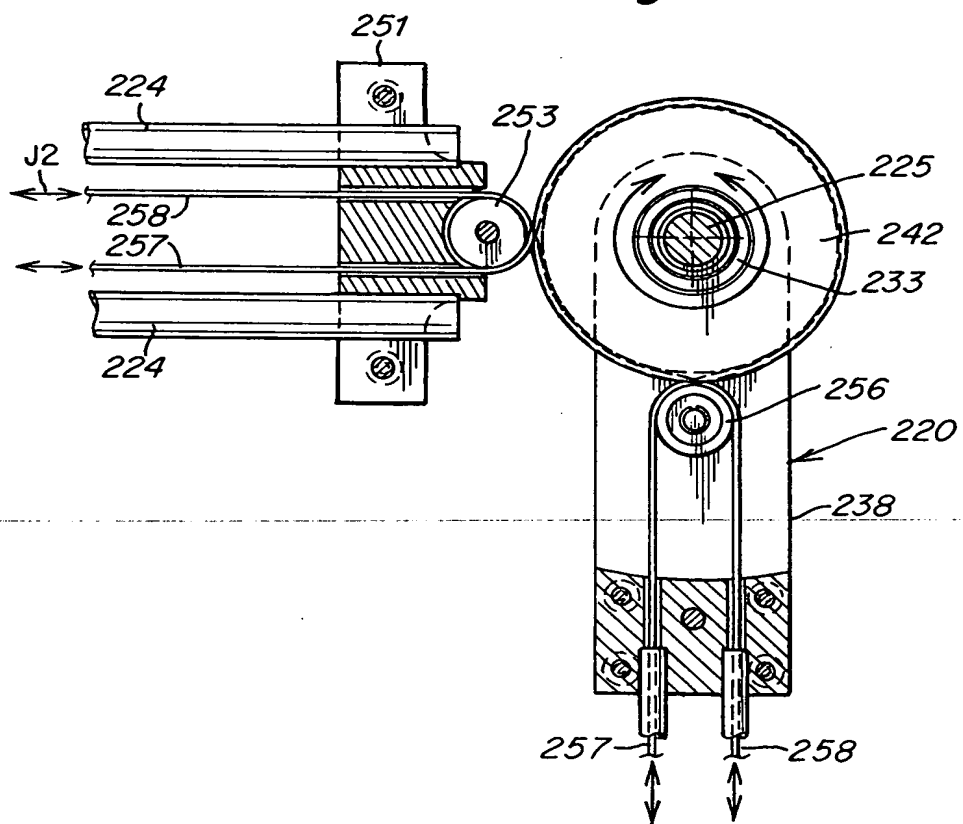


Fig. 14

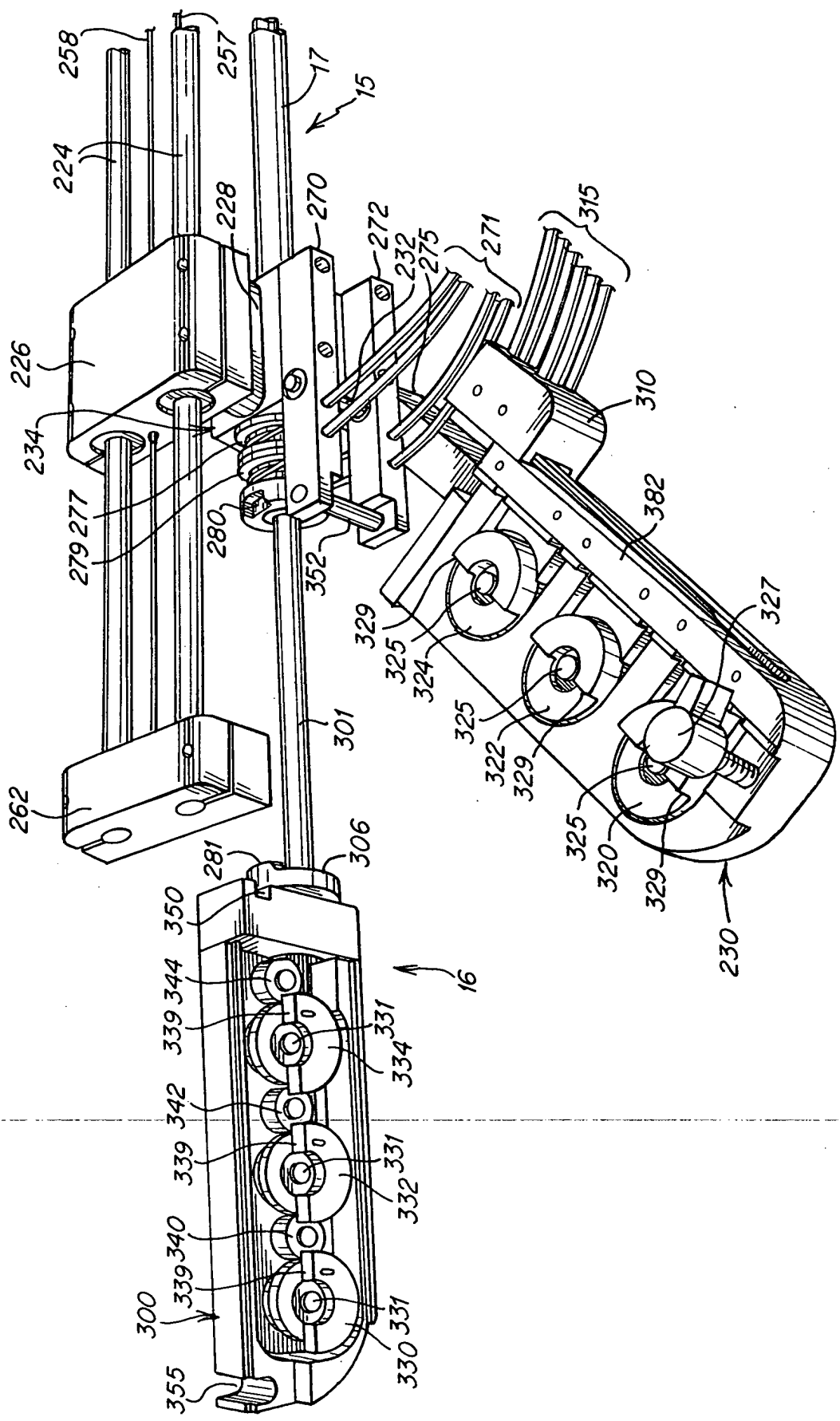


Fig. 15

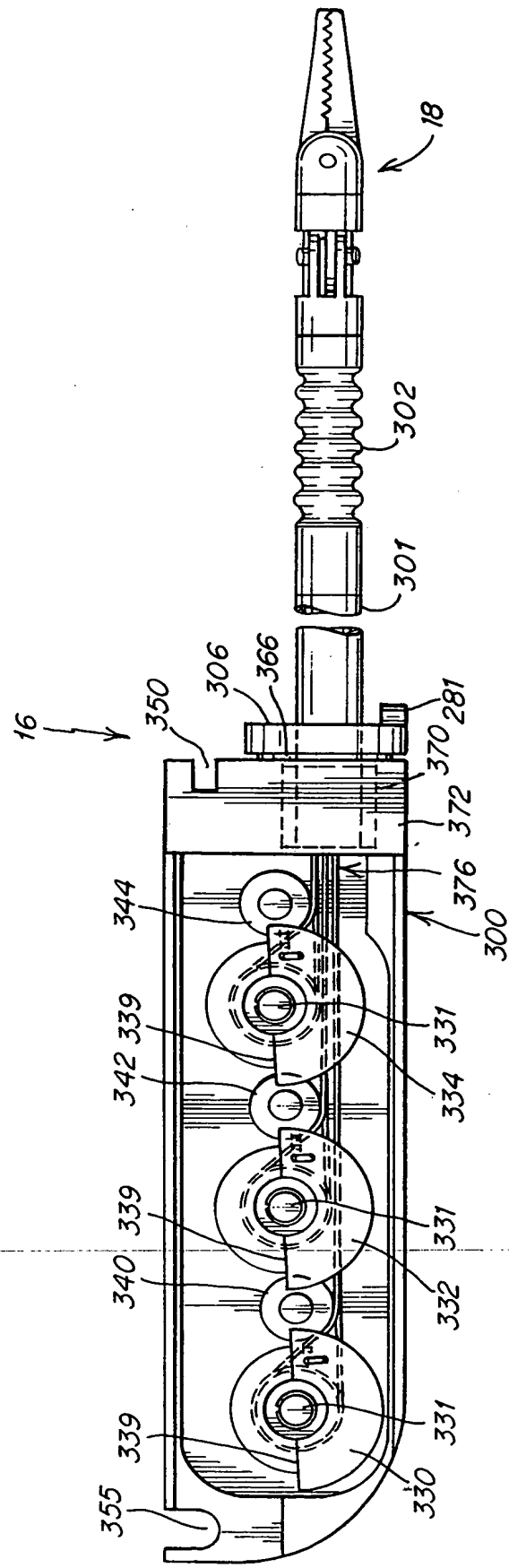


Fig. 15A

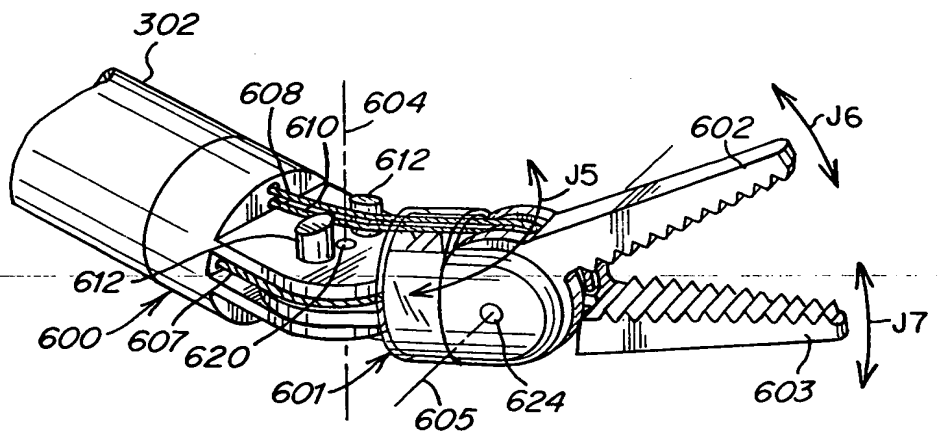


Fig. 16A

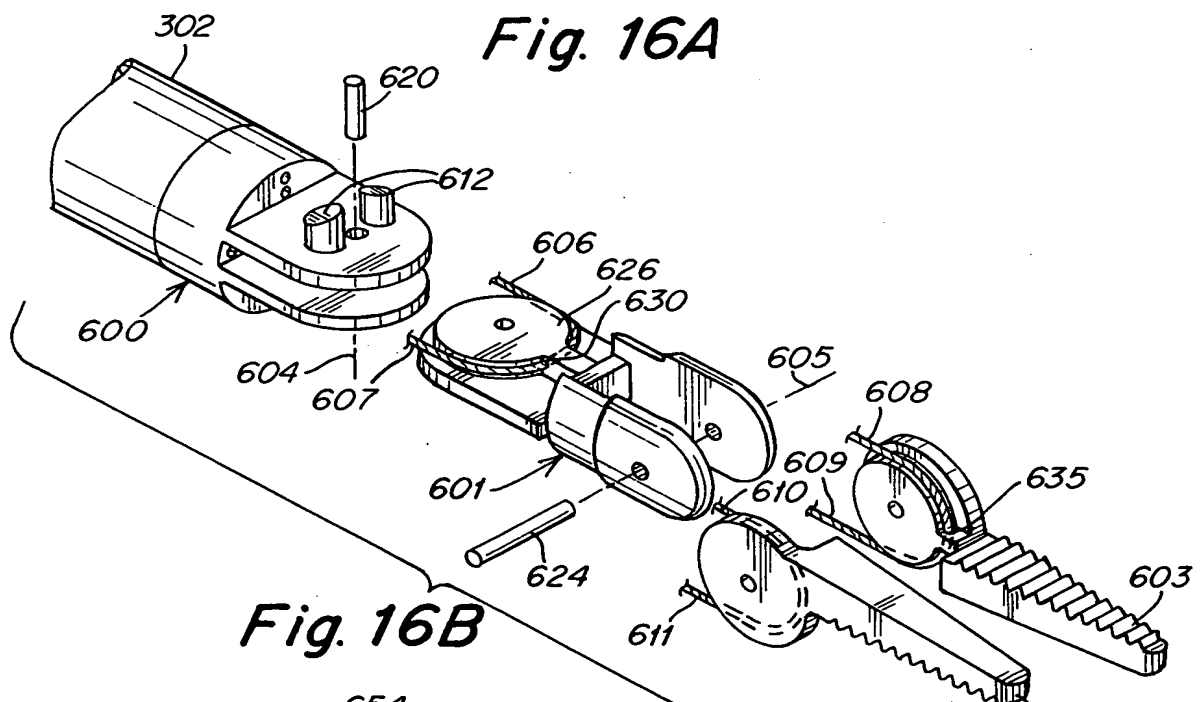


Fig. 16B

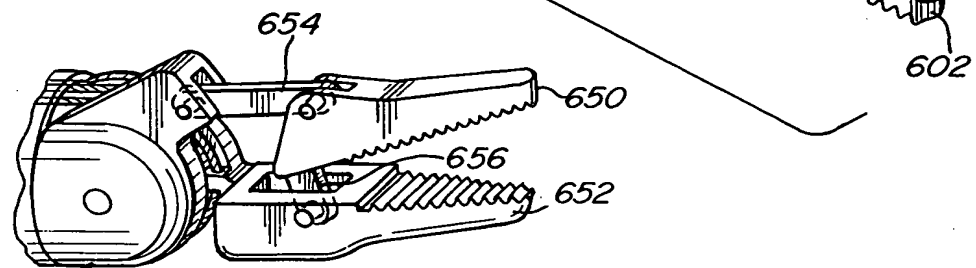


Fig. 16C

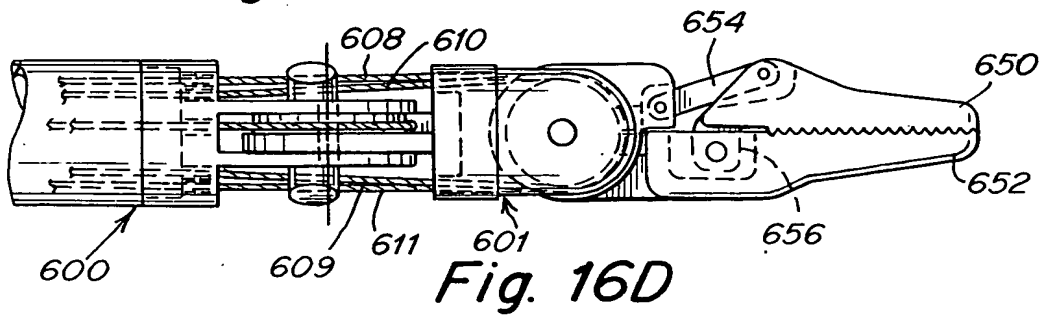
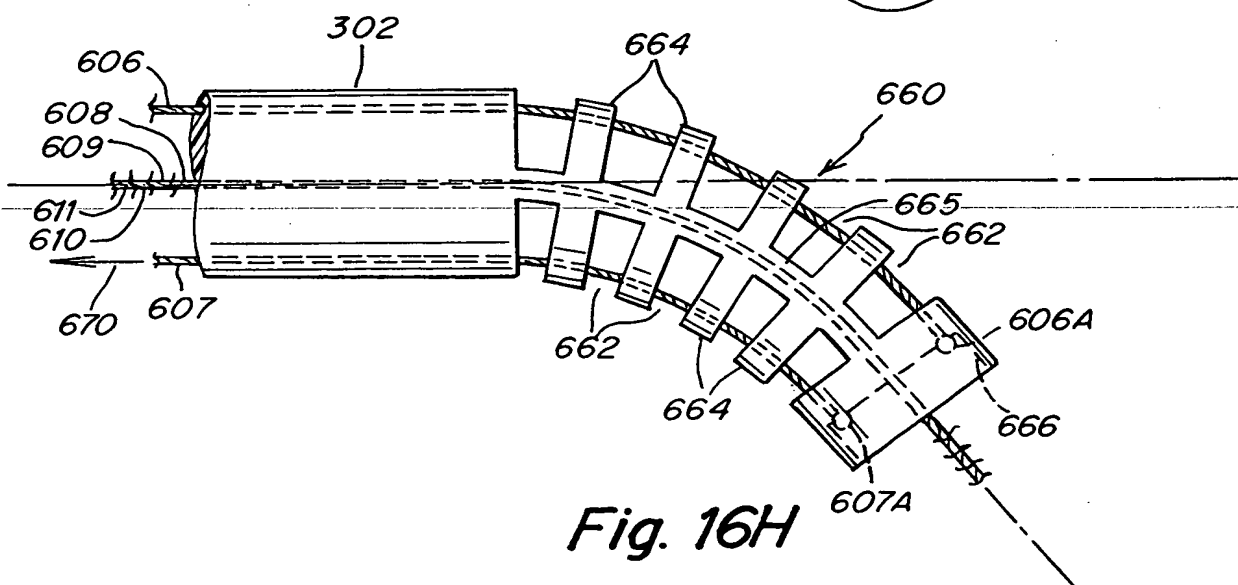
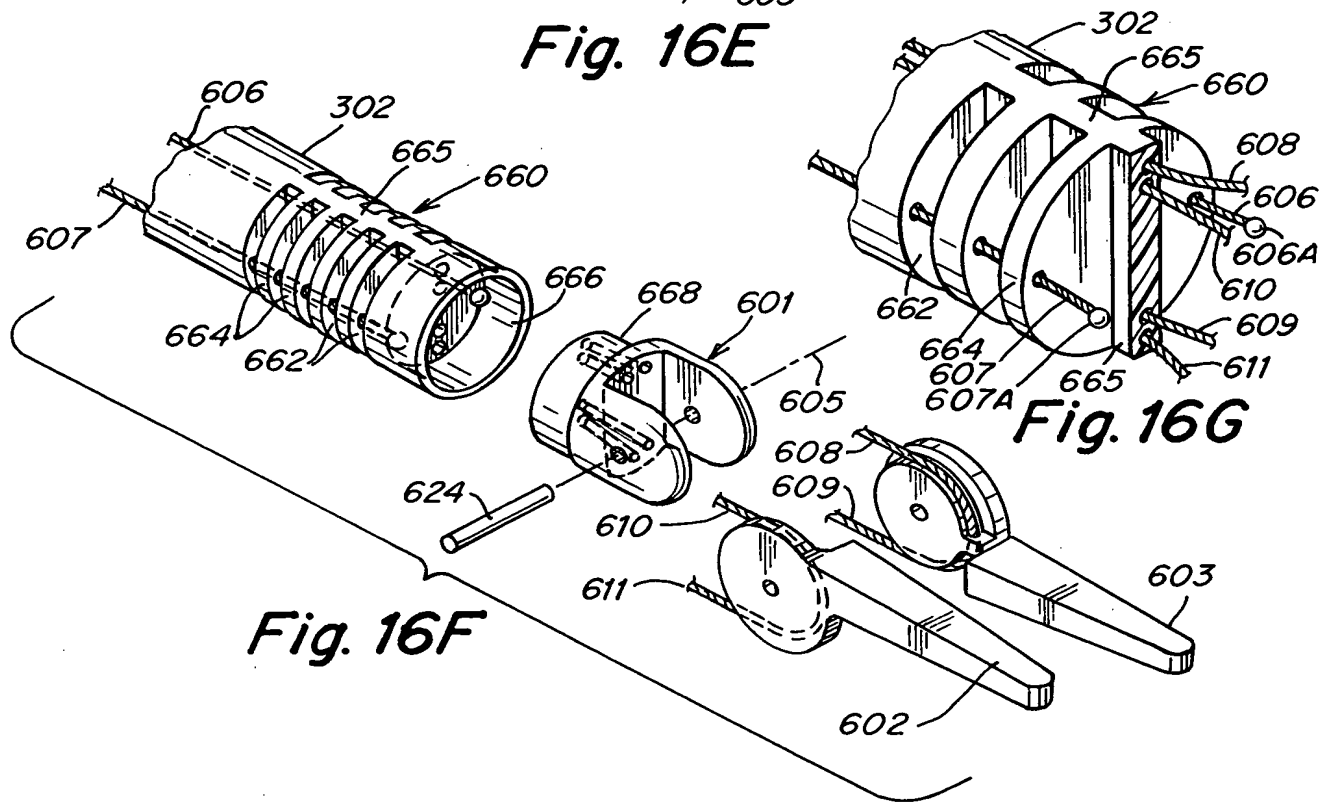
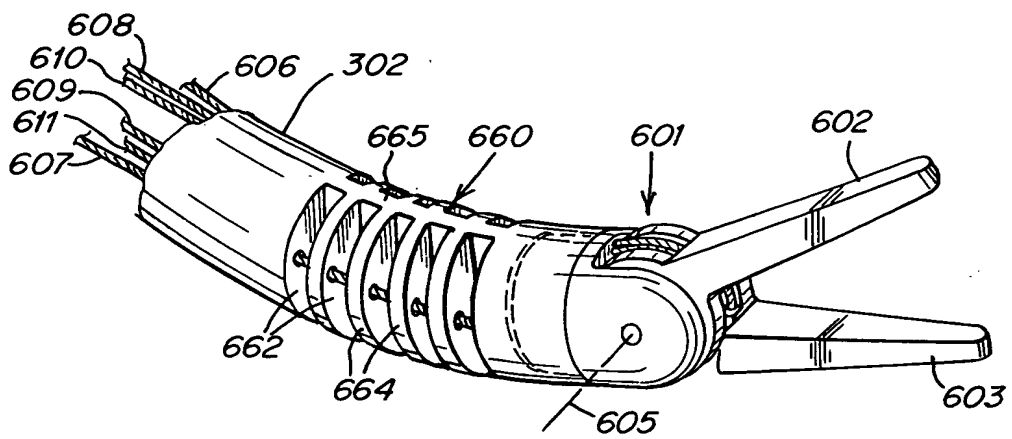


Fig. 16D



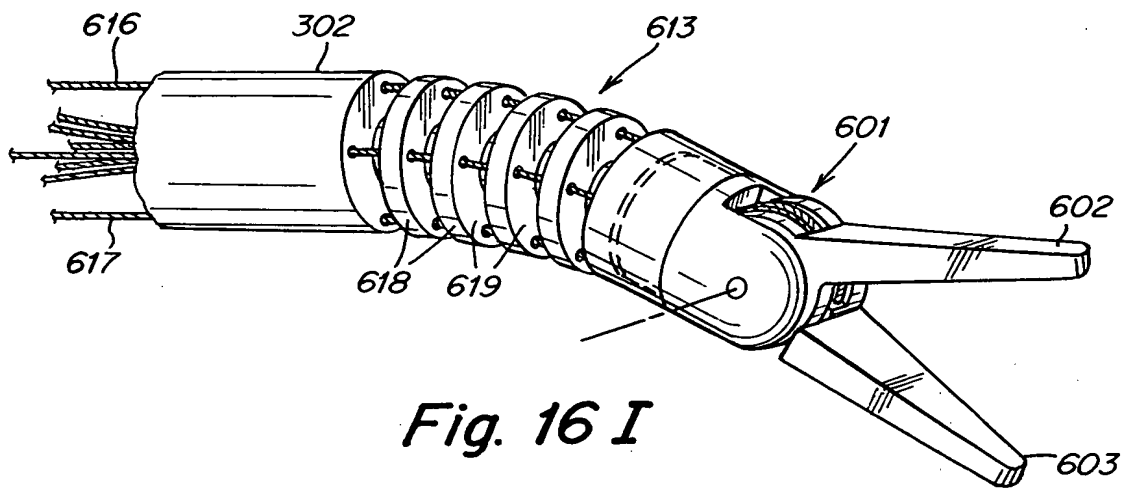


Fig. 16 I

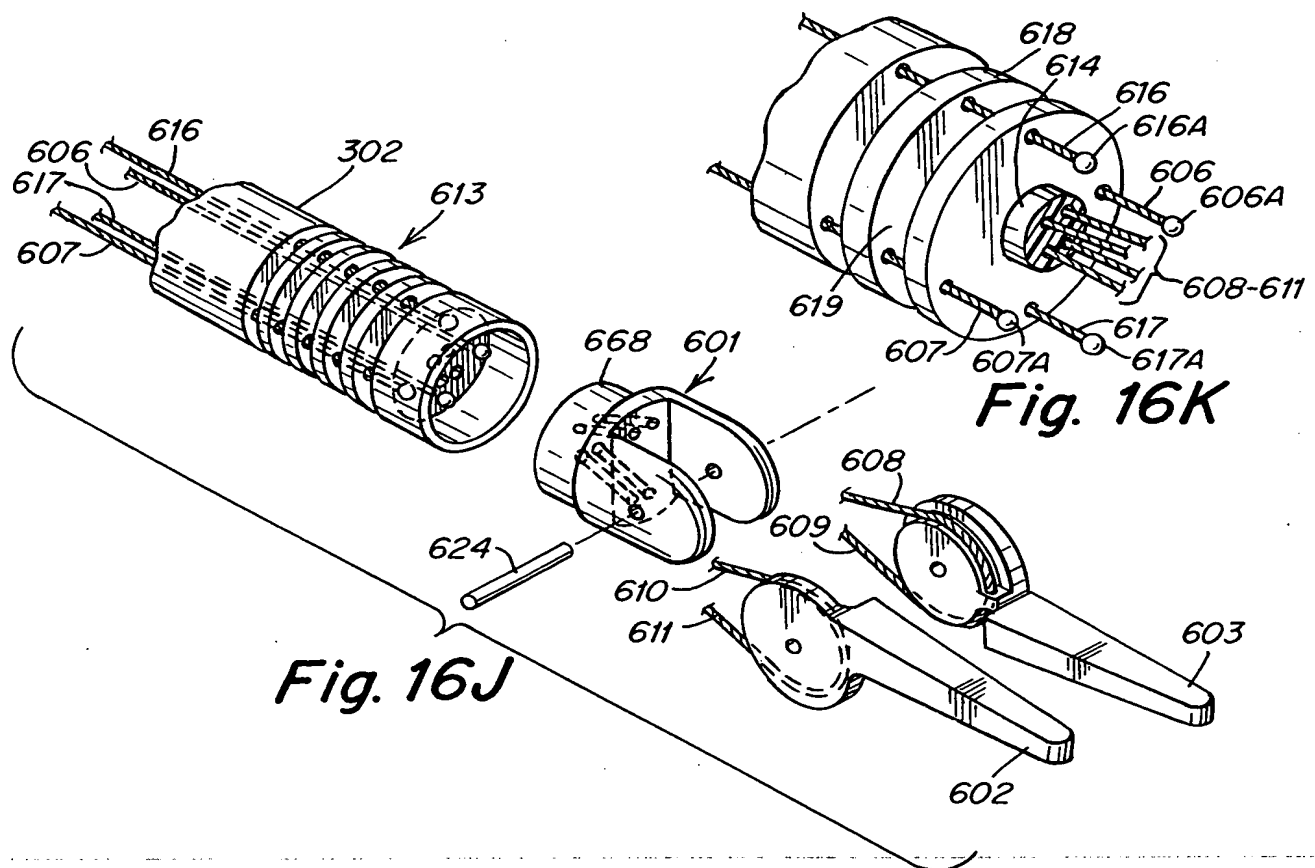


Fig. 16J

Fig. 16K

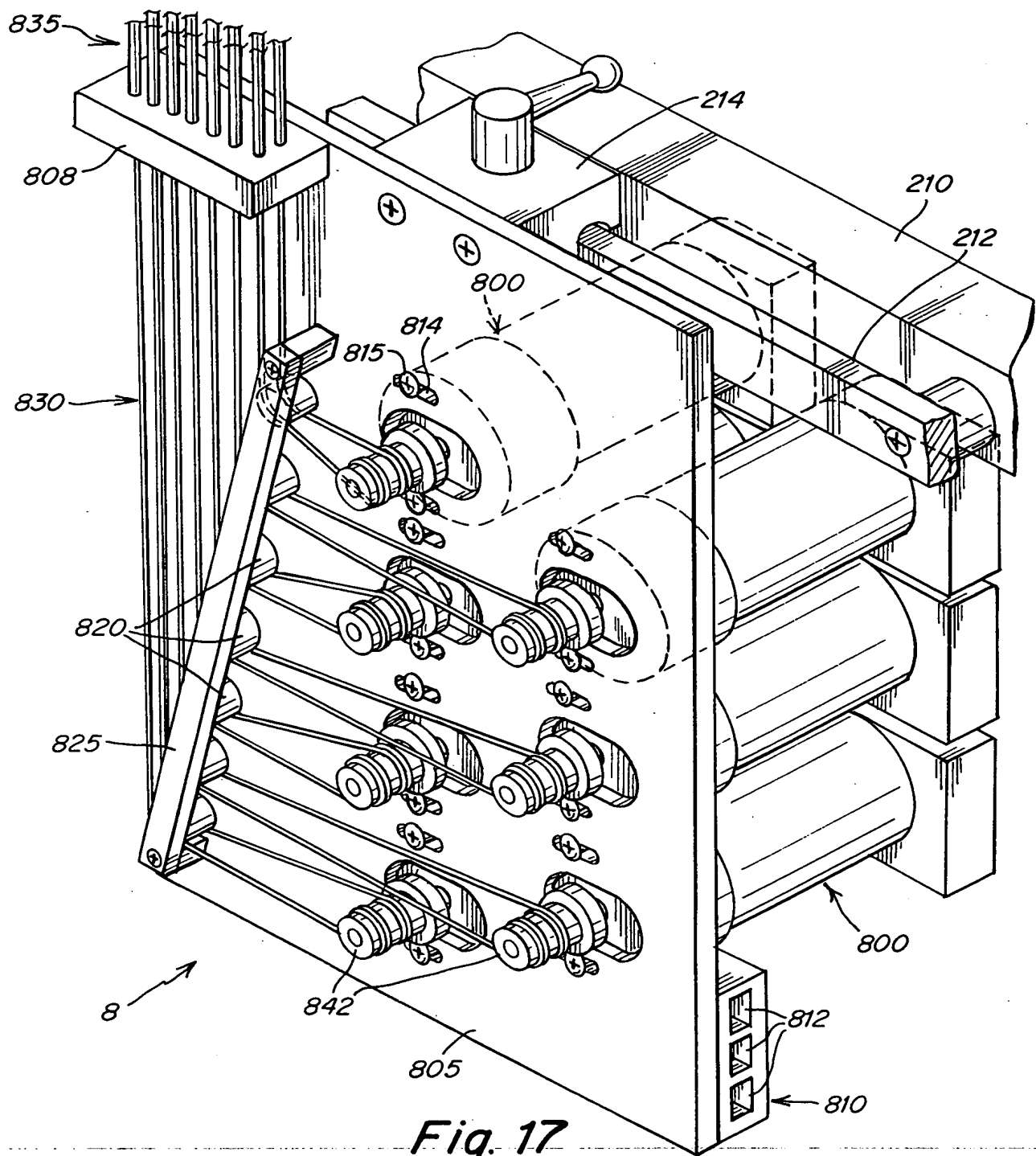


Fig. 17

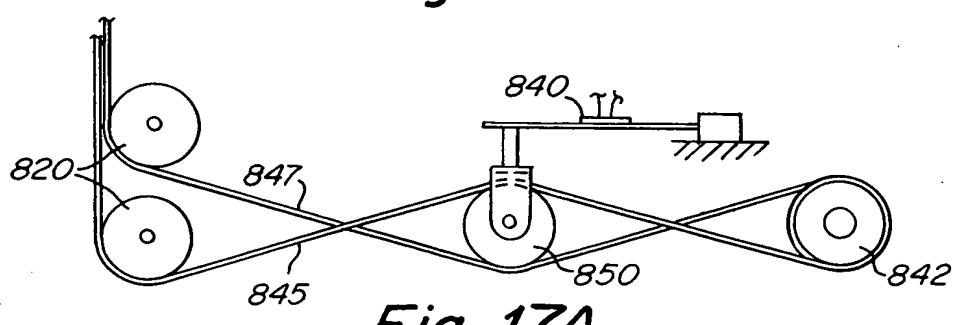


Fig. 17A

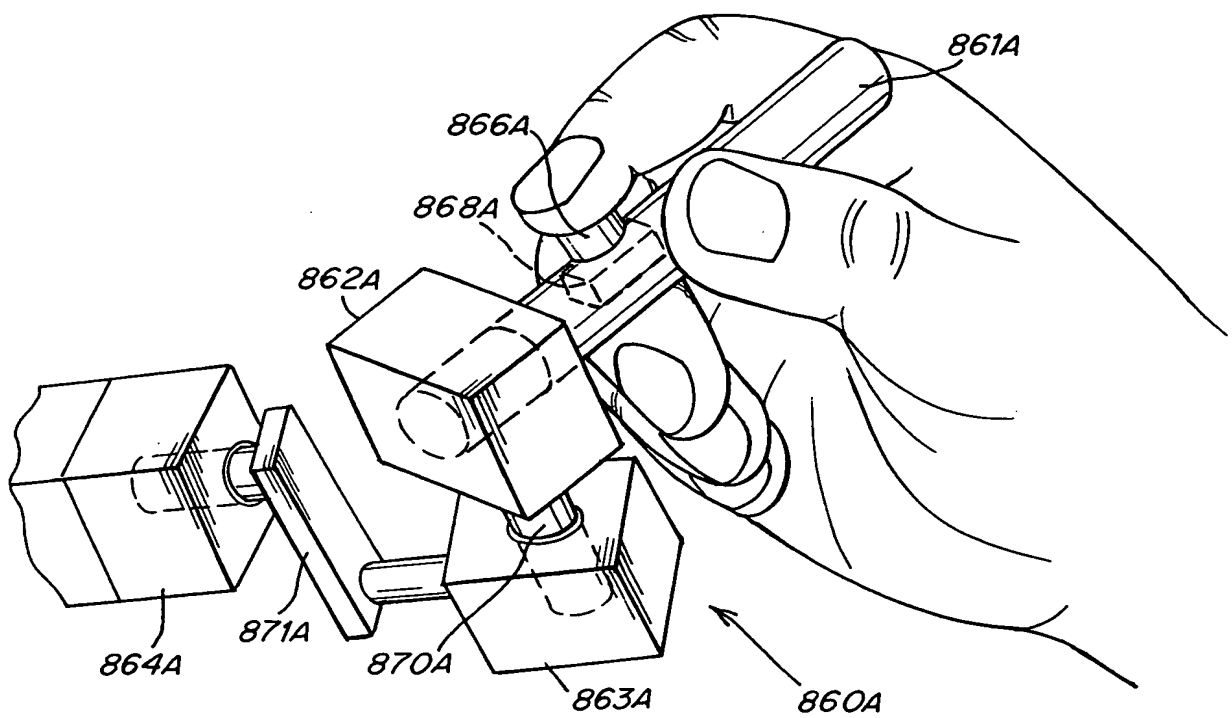


Fig. 18

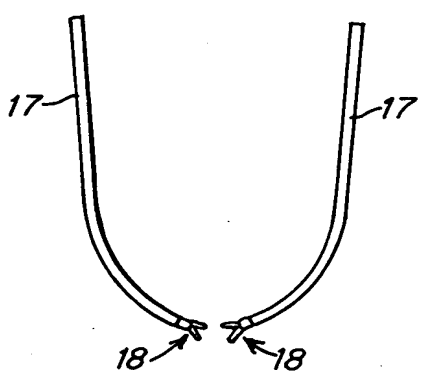


Fig. 19 A

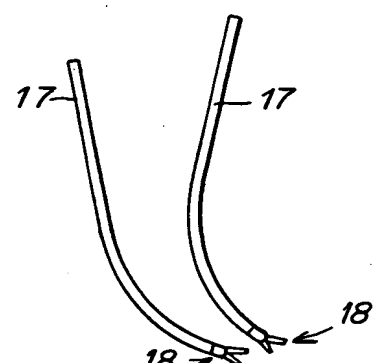


Fig. 19 B

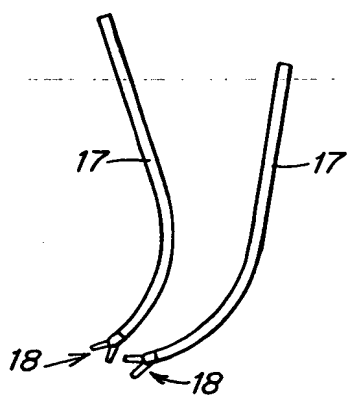


Fig. 19 C

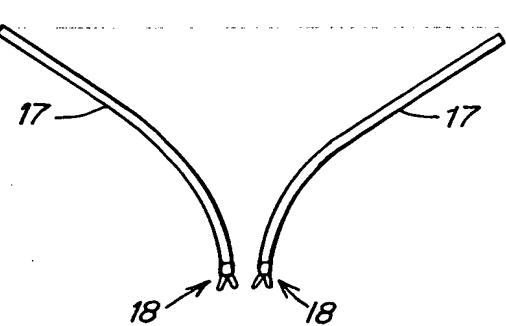


Fig. 19 D

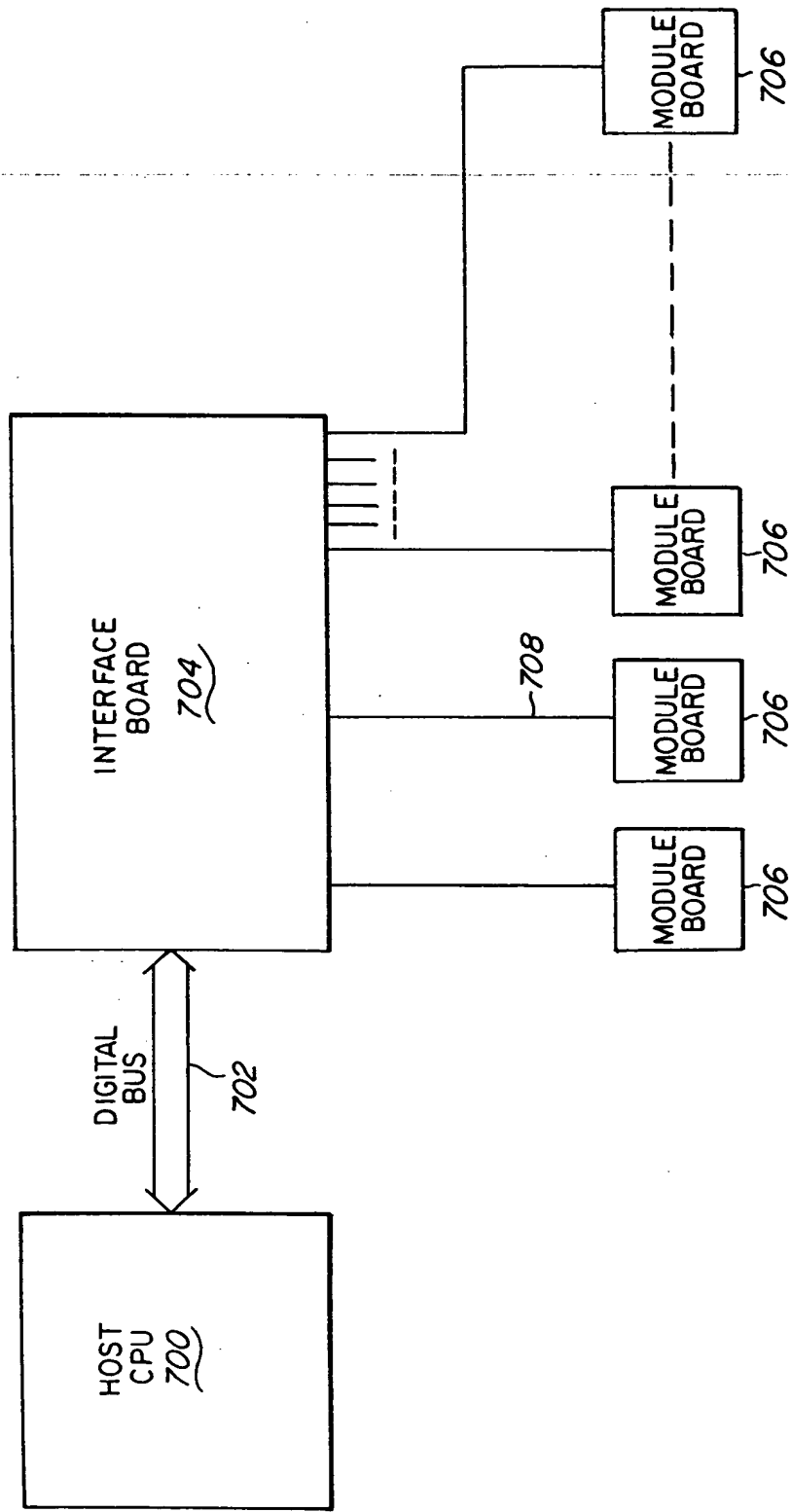


Fig. 20

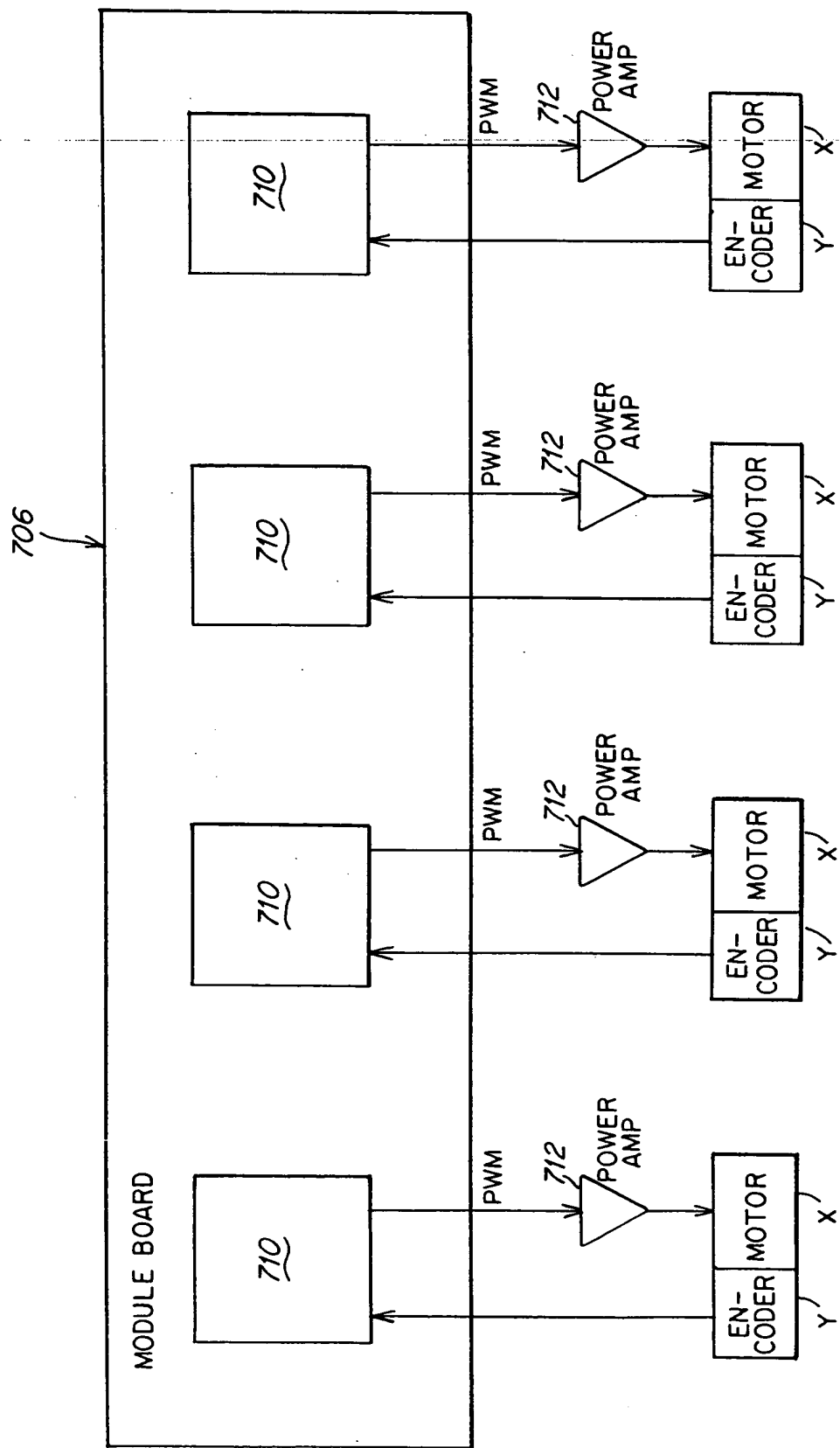


Fig. 21

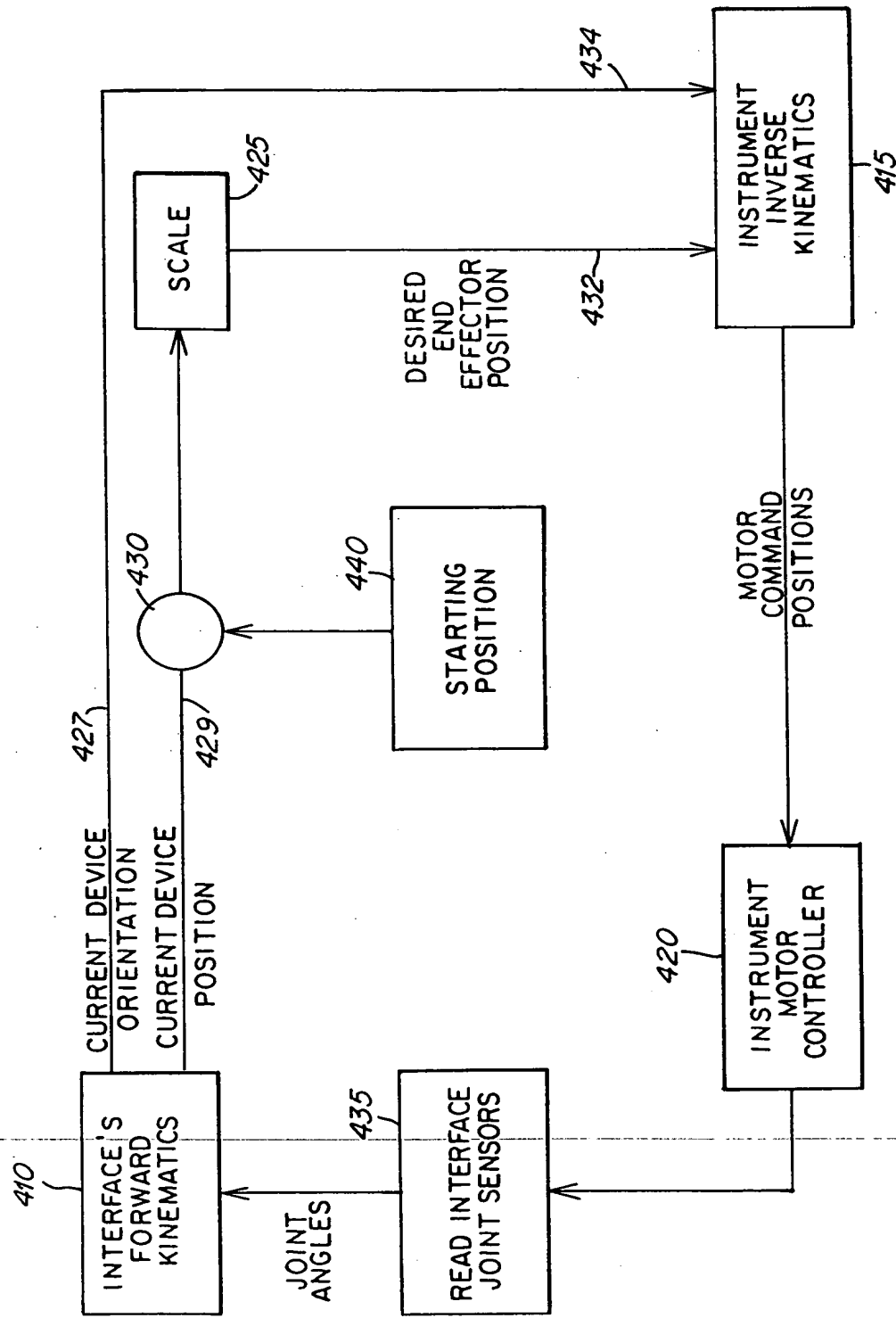


Fig. 22

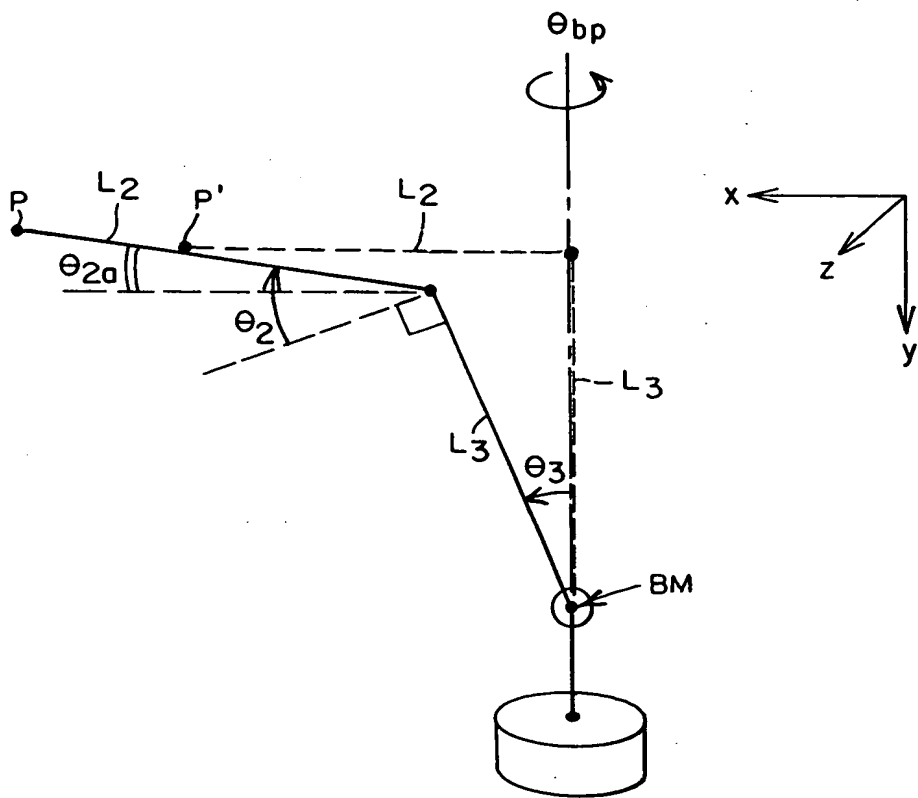


Fig. 23

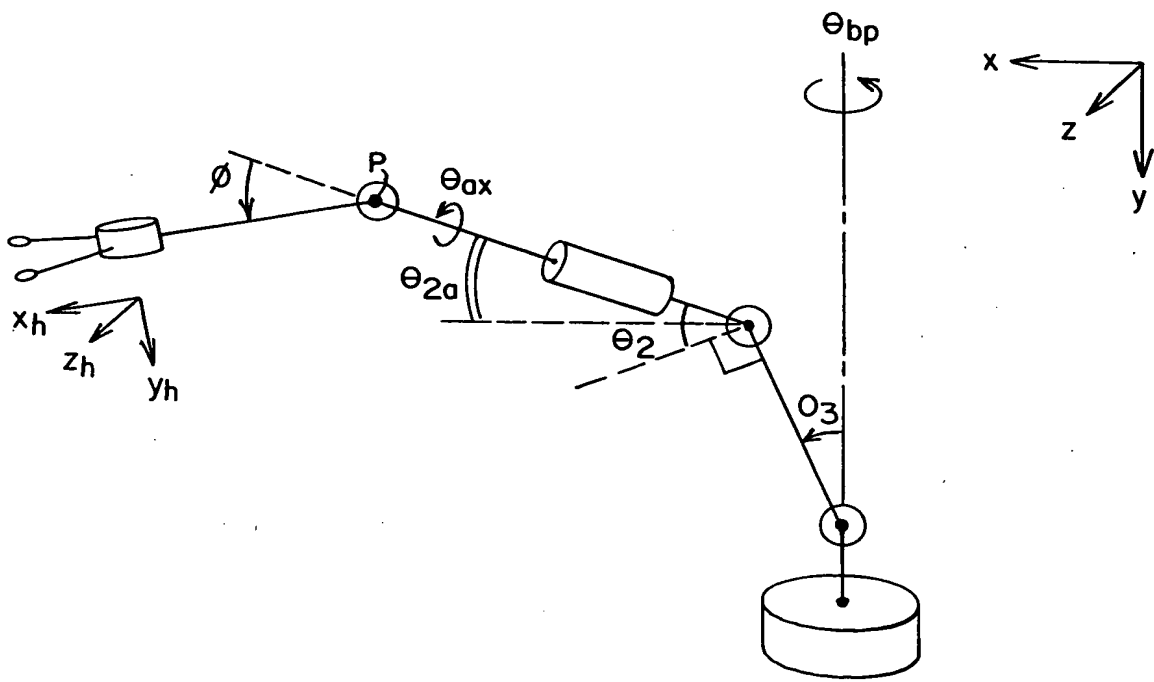


Fig. 24A

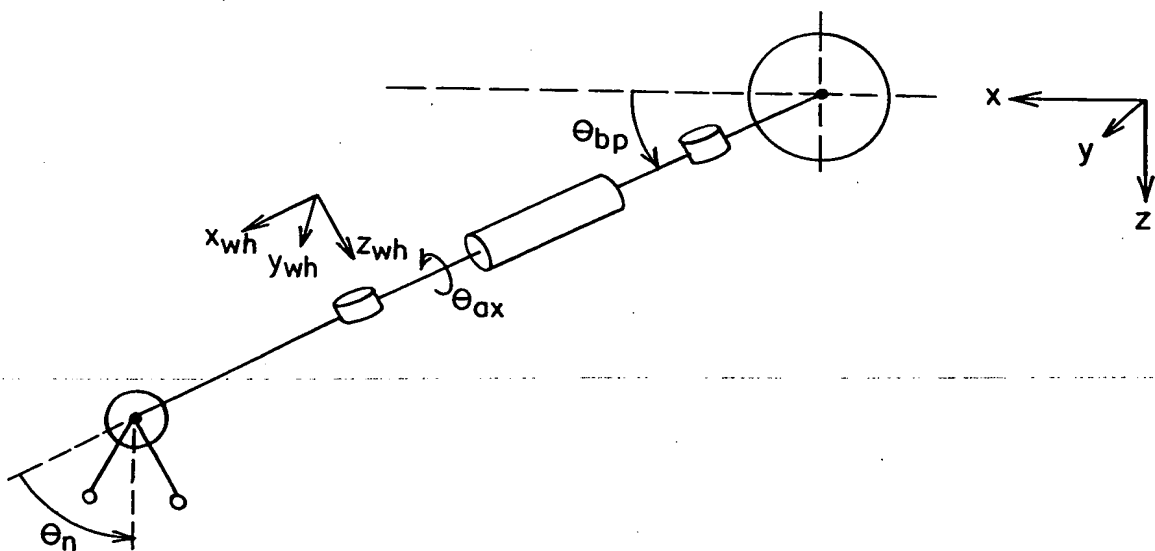


Fig. 24B

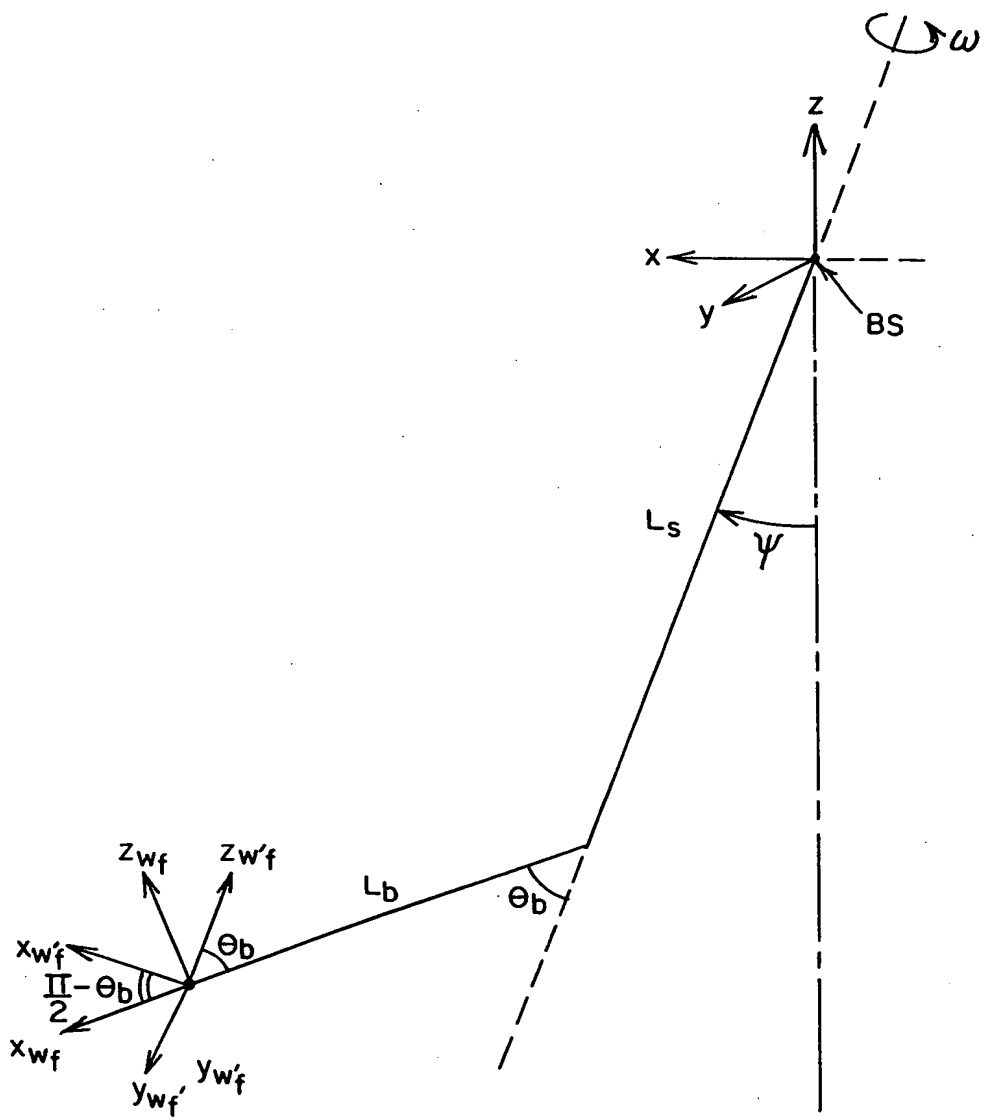


Fig. 25

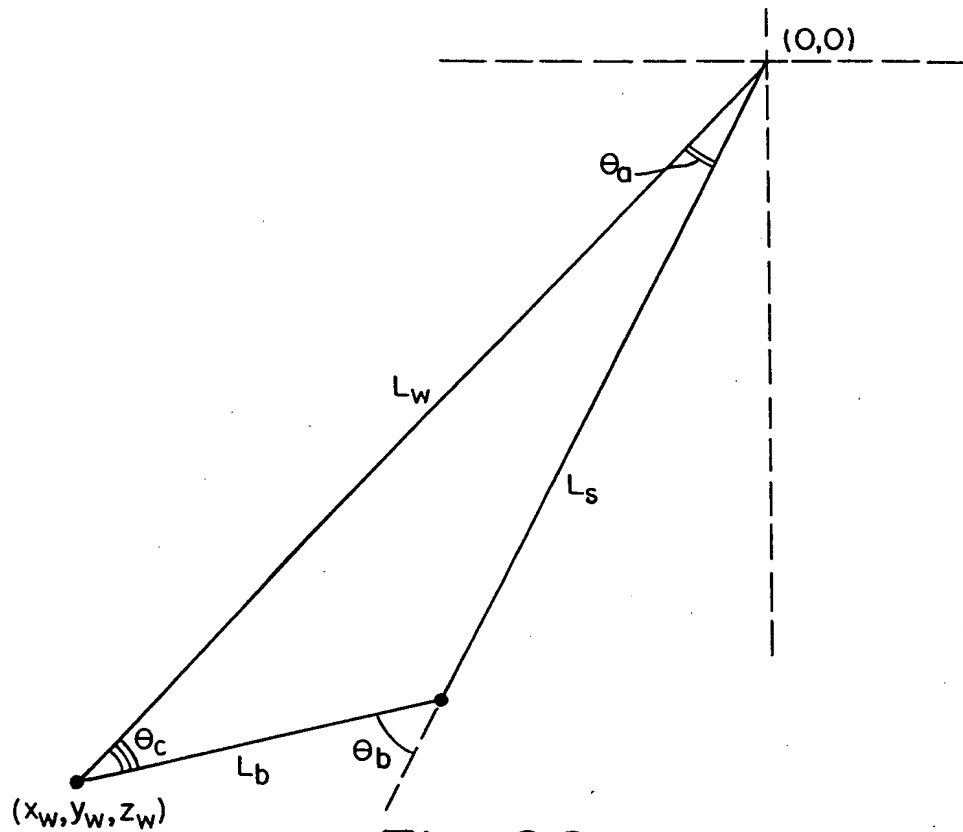


Fig. 26

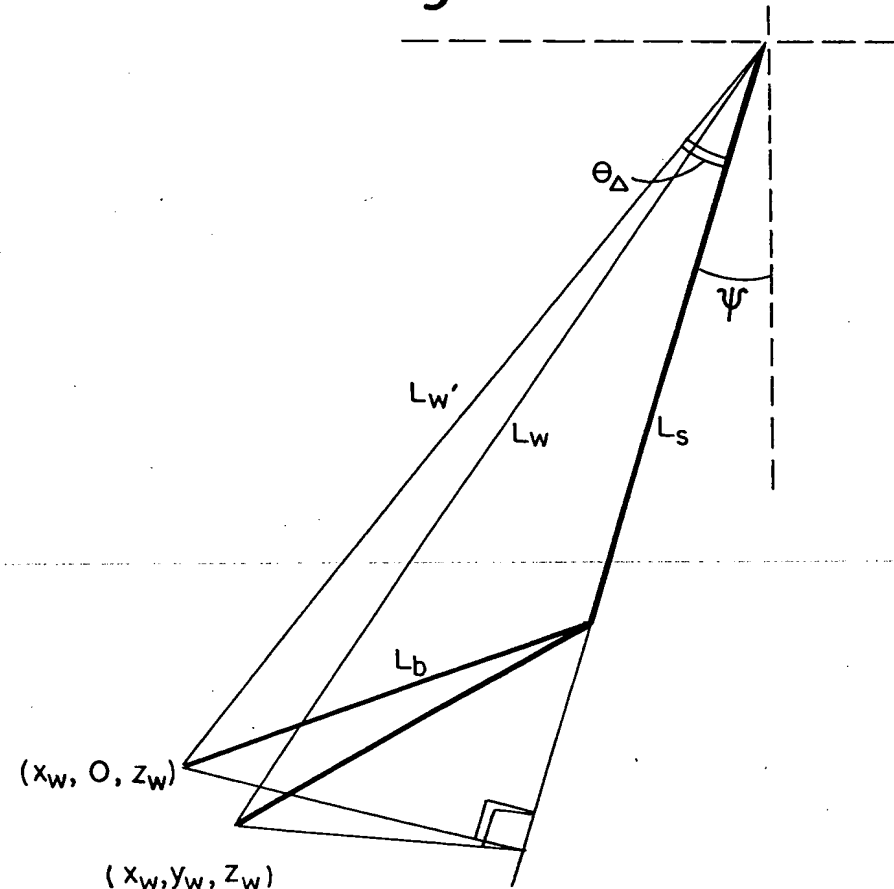


Fig. 27

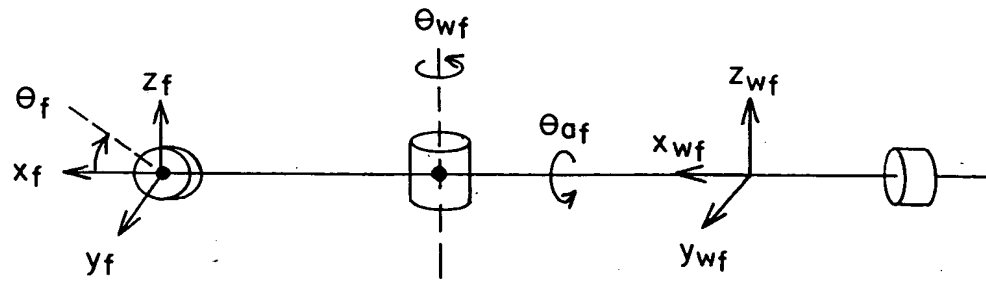


Fig. 28